

1.Lj - Ip 8-97

**LINII ELECTRICE AERIENE
DE JOASĂ TENSIUNE
CU CONDUCTOARE IZOLATE TORSADATE**

INDRUMAR DE PROIECTARE ȘI EXECUȚIE

ing. FLOREA TUDOSE

1998

RENEL GTDEE	LINII ELECTRICE AERIENE DE JOASĂ TENSIUNE CU CONDUCTOARE IZOLATE TORSADATE INDRUMAR DE PROIECTARE ȘI EXECUȚIE	1. Lj - Ip 8 - 97
----------------	--	-------------------

CUPRINS

1. Date de calcul pentru dimensionarea electrică	5
1.1. Sarcini electrice de calcul	5
1.2. Determinarea secțiunii economice a conductoarelor	8
1.3. Verificarea încălzirii conductoarelor	8
1.4. Calculul căderilor de tensiune	9
1.5. Condiții privind asigurarea protecției la scurtcircuit	10
1.6. Exemplu de calcul	11
2. Date de calcul pentru dimensionarea mecanică	20
2.1. Date meteorologice	20
2.2. Încărcări unitare normate	22
2.3. Încărcări unitare de calcul	23
2.4. Încărcări specifice normate și de calcul	23
2.5. Încărcări orizontale de calcul	23
2.6. Încărcări verticale de calcul	24
2.7. Exemplu de calcul	24
3. Fascicule de conductoare izolate torsadate	27
3.1. Introducere	27
3.2. Dimensionarea mecanică a fasciculului	27
3.3. Recomandări privind calcule de dimensionare a fasciculelor	30
3.4. Exemplu de calcul	32
4. Stâlpi	36
4.1. Introducere	36
4.2. Calculul deschiderilor dintre stâlpi	36
4.3. Stâlpi terminali	38
4.4. Stâlpi de susținere în aliniament	38
4.5. Stâlpi de colț	38
4.6 Stâlpi de întindere	39

Elaborator: GTDEE Serviciul tehnologic noi	Avizat : GTDEE - Dir. Distribuție cu p.v. nr.....	Ediții anterioare : 1. Lj - Ip 8 - 76 1. Lj - Ip 8 - 86
--	---	---

RENEL GTDEE	LINII ELECTRICE AERIENE DE JOASĂ TENSIUNE CU CONDUCTOARE IZOLATE TORSADATE INDRUMAR DE PROIECTARE ȘI EXECUȚIE	1. Lj - Ip 8 - 97
4.7. Stâlpi ancorați	39	
4.8. Fundațiile stâlpilor	39	
4.9. Recomandări privind utilizarea stâlpilor	40	
4.10. Exemplu de calcul	40	
5. Realizarea liniilor electrice aeriene cu conductoare izolate torsadate	45	
5.1. Soluții de realizare	45	
5.2. Detalii de realizare	46	
5.3. Accesorii	48	
5.4. Condiții tehnice pentru accesorii	49	
6. Linii electrice cu conductoare izolate torsadate cu două circuite	71	
6.1. Calculul deschiderilor dintre stâlpi	71	
6.2. Stâlpi terminali	72	
6.3. Stâlpi de susținere în aliniament	72	
6.4. Stâlpi de colț	72	
6.5. Stâlpi de întindere	73	
6.6. Recomandări privind utilizarea stâlpilor la liniile cu două circuite	73	
Elaborator: GTDEE Serviciul tehnologii noi	Avizat : GTDEE - Dir. Distribuție cu p.v. nr.....	Ediții anterioare : 1. Lj - Ip 8 - 76 1. Lj - Ip 8 - 86

LINII ELECTRICE AERIENE DE JOASĂ TENSIUNE CU CONDUCTOARE IZOLATE TORSADATE

Proiectare și realizare

Distribuția energiei electrice la joasă tensiune (tensiunea nominală între faze de maxim 1000 V inclusiv) se realizează cu conductoare aeriene sau subterane. Soluția de realizare a liniilor electrice aeriene de joasă tensiune cu conductoare izolate torsadate s-a generalizat, datorită avantajelor multiple pe care le prezintă: siguranță în funcționare, reducerea timpului de întrerupere accidentală, exploatare simplificată, evitarea posibilității de electrocutare, montare în culoare înguste sau pe fațadele clădirilor, tehnologia de execuție simplă, defrișări practic inexistente, posibilitatea montării pe stâlpi comuni și.a.

Conductoare izolate torsadate se montează pe liniile electrice aeriene de distribuție (cu tensiunea 231/400 V) din zonele rurale și periferii urbane, liniile pentru iluminat public în localități urbane, liniile pentru alimentarea unor mici consumatori (ateliere productive, organizări de șantier și.a.) și liniile pentru alimentarea consumatorilor izolați sau din zone greu accesibile (la tensiunea de 1 kV)

Soluția de realizare a liniilor aeriene cu conductoare izolate torsadate se aplică în cazul lucrărilor noi, lucrări de reparații capitale sau modernizări, cu respectarea prevederilor din normativul pentru proiectarea și executarea liniilor electrice aeriene, indicativ PE 106.

Lucrarea prezintă metodologia de calcul electric și mecanic a liniilor electrice aeriene de joasă tensiune, precum și detalii de execuție pentru soluțiile cel mai des întâlnite în practică.

Definiții specifice:

- *Fascicul de conductoare izolate torsadate* - ansamblul compus din două până la şase conductoare izolate și răscuite (torsadate) între ele, formând un fascicul. Conductoarele de fază sunt realizate din aluminiu, iar conductorul de nul, din oțel-aluminiu sau aliaj de aluminiu. Izolația este din policlorură de vinil (PVC) sau polietilenă reticulată (PRC)

- *Fascicul întins pe stâlpi* - soluție în care susținerea, întinderea și fixarea fasciculului se face pe stâlpi cu ajutorul unor accesorii specializate. Eforturile mecanice din fascicul sunt preluate de nulul-purtător.

- *Fascicul pozat pe fațadele clădirilor* - soluție în care fasciculul se fixează pe fațadele clădirilor (clădiri aliniate la stradă) cu ajutorul unor accesorii specializate. În acest caz eforturile mecanice din fascicul sunt foarte mici și se pot neglija.

- *Nul purtător* - Conductorul de nul, realizat din oțel-aluminiu sau aliaj de aluminiu, din componenta fasciculului, cu secțiunea de 50 mm^2 pentru toate tipurile de fascicule, care are rol de nul din punct de vedere electric și de preluare a eforturilor mecanice din punct de vedere mecanic.

1. DATE DE CALCUL PENTRU DIMENSIONAREA ELECTRICĂ

Lucrarea prezintă metodologia de calcul pentru dimensionarea din punct de vedere electric a liniilor electrice aeriene de joasă tensiune cu conductoare izolate torsadate.

Pentru dimensionare se parcurg următoarele etape:

- determinarea secțiunii economice a conductoarelor ;
- verificarea încălzirii ;
- calcularea căderilor de tensiune ;
- verificarea protecției la scurtcircuit .

Liniile electrice aeriene de distribuție sunt, de regulă, linii radiale cu ramificații multiple.

Dimensionarea acestor linii se face împărțind linia în noduri și tronsoane, și efectuând calculele pentru fiecare tronson în parte.

Se consideră *nod*, ori ce punct de derivație al rețelei (cu excepția derivațiilor de branșamente monofazate) și punctele terminale. Postul de transformare din care se alimentează linia respectivă se consideră nodul zero.

Tronson este porțiunea din linie dintre două noduri consecutive. Tronsonul poartă numărul nodului din aval. De exemplu: tronsonul cuprins între nodurile 3 și 4 va fi tronsonul 4.

Secțiunea conductoarelor de fază se determină astfel încât, în condiții de funcționare normale, energia electrică să poată fi livrată consumatorilor la parametrii normați. Se urmărește ca prin alegerea corespunzătoare a secțiunii conductoarelor de fază, funcție de sarcinile electrice de calcul și de lungimea liniei, să se asigure căderea de tensiune admisă de STAS 930, iar instalația să corespundă termic și la scurtcircuit.

Dimensionarea secțiunii conductoarelor unei linii electrice aeriene de joasă tensiune se face în baza liniilor directoare și ipotezelor prevăzute în normativele pentru proiectarea rețelelor de distribuție publică, PE 132 și PE 135.

1.1. Sarcini electrice de calcul

a) *Putere instalată* (P_i) a unui consumator, este suma puterilor nominale ale tuturor receptoarelor, fixe sau mobile, instalate la consumatorul respectiv.

b) *Puterea de calcul* (P_c) este puterea pentru care se dimensionează elementele rețelei și reprezintă puterea activă simultan absorbită de unul sau mai mulți consumatori, racordați la elementul c rețea considerat.

Puterea de calcul se obține din puterea instalată prin amendare cu un coeficient de utilizare.

Pentru dimensionarea liniilor electrice de distribuție cu tensiunea nominală de 231/400 V valori puterilor de calcul pentru consumatorii casnici din mediul urban sau rural, funcție de varianta de dotare a locuinței și de numărul de camere, sunt prevăzute în normativul PE 132 și prezentate în tabelul 1.1.

c) *Puterea de calcul pentru micii consumatori* (P_{mc}) se determină cu relația :

$$P_{mc} = P_i * k_u \quad (\text{kW})$$

unde P_i este suma puterilor instalate la micul consumator

k_u - coeficientul de utilizare (simultaneitate)

Pentru micii consumatori alimentați din rețeaua de distribuție se vor considera puterile instalate prezentate în chestionarul energetic.

In cazul în care nu se cunosc valorile puterilor instalate și a coeficientului de utilizare corespunzătoare micului consumator, se pot utiliza, pentru calculele de dimensionare, valorile orientative indicate în normativul PE 132.

Tabelul 1.1.

Puterea de calcul pentru consumatorii casnici

Varianta de dotare a locuinței și nr. de camere	Consumatori casnici						
	mediul urban		mediul rural				
	Putere instalată kW	Putere de calcul kW	Putere instalată kW	Putere de calcul kW	localitate izolată	localitate dezvoltată	localitate izolată
	P _i	P _c	P _i	P _i	P _c	P _c	P _c
A 1	8	1,6 - 2,0	3	6	0,6 - 0,75	1,2 - 1,5	
A 2	10	2,5	3	6	0,6 - 0,75	1,2 - 1,5	
B 1	9	1,8 - 2,25	4,5	9	0,9 - 1,1	1,8 - 2,2	
B 2	12	3,0	4,5	9	0,9 - 1,1	1,8 - 2,2	
C 1	10	2,0 - 2,5	5	10	1,0 - 1,25	2,0 - 2,5	
C 2	14	3,5	5	10	1,0 - 1,25	2,2 - 2,5	
D 1	12	2,4 - 3,0	-	-	-	-	
D 2	18	4,5	-	-	-	-	

NOTĂ: Variante de dotare a locuințelor:

A - Locuinte dotate cu receptoare electrocasnice pentru iluminat, conservare hrană, audio-vizual, activități gospodărești, la care încălzirea și apa caldă este asigurată prin termoficare sau centrale termice prorii; pregătirea hranei este asigurată cu gaza la bucătărie.

A1-locuință cu o cameră; A2- locuință cu 2÷5 camere

B - Locuinte dotate cu receptoare electrocasnice pentru iluminat, conservare hrană, audio-vizual, activități gospodărești și asigurarea apei calde (boilere) ; încălzirea este asigurată prin termoficare sau centrale termice prorii; pregătirea hranei este asigurată cu gaza la bucătărie.

B1-locuință cu o cameră; B2- locuință cu 2÷5 camere

C - Locuinte dotate cu receptoare electrocasnice pentru iluminat, conservare hrană, audio-vizual, activități gospodărești, asigurarea apei calde și pregătirea hranei ; încălzirea este asigurată prin termoficare sau centrale termice prorii.

C1-locuință cu o cameră; C2- locuință cu 2÷5 camere

D - Locuinte dotate cu receptoare electrocasnice pentru iluminat, conservare hrană, audio-vizual, activități gospodărești, asigurarea apei calde, pregătirea hranei și încălzire (tot electric)

D1-locuință cu o cameră; D2- locuință cu 2÷5 camere

d) Puterea de lucru (P_1) este o mărime de calcul specifică fiecărui tronson și se determină cu releția :

$$P_1 = P_c * n * k_s \quad (\text{kW})$$

unde P_c este puterea de calcul a unui consumator casnic (kW)
 n - numărul consumatorilor casnici de același tip racordați pe tronsonul respectiv
 k_s - coeficientul de simultaneitate corespunzător numărului de consumatori de pe tronson.

Coefficientul de simultaneitate este prezentat în tabelul 1.2. conform normativului PE 132.

Tabelul 1.2.
Coeficienți de simultaneitate

Numărul de consumatori casnici	Coeficienți de simultaneitate	
	localități urbane	localități rurale
2 - 3	0,65	0,52
4 - 9	0,60	0,49
10 - 20	0,51	0,45
21 - 30	0,40	0,35
31 - 40	0,37	0,29
41 - 50	0,36	0,28
51 - 60	0,36	0,28
61 - 75	0,35	0,27
76 - 100	0,34	0,26
> 100	0,33	0,25

- e) *Recomandări privind determinarea sarcinilor electrice de calcul*
- în cazul în care pe un tronson sunt consumatori casnici de mai multe tipuri, se calculează puterea de lucru pentru fiecare categorie și se face suma lor.
 - pentru locuințele cu mai mult de cinci camere, puterea de calcul se va determina conform chestionarului energetic;
 - pentru momentele electrice produse de doi sau mai mulți consumatori cu factori de putere diferiți, se reține în calcule factorul de putere cel mai mic. Acesta conduce la aproximări a calculelor căderilor de tensiune acceptabile (de ordinul sutimilor de volt);
 - pentru micii consumatori care au puteri instalate mai mari de 25 kW se recomandă realizarea unei plecări separate din postul de transformare, pentru a nu altera calitatea energiei la ceilalți consumatori;
 - pentru clădirile cu mai multe etaje, în afara sarcinilor electrice pentru apartamente se va adăuga și sarcinile consumatorilor din spațiile comune : subsol, scări, pod, uscătorii, ascensor și.a.
 - secțiunile conductoarelor pentru alimentarea iluminatului public se determină considerând puterea de calcul obținută din înmulțirea numărului lămpilor cu puterea unei lămpi; momentul electric se determină ca pentru consumatori uniform distribuiți.

1.2. Determinarea secțiunii economice a conductorilor

a) Secțiunea economică (S_{ee}) a liniilor electrice se verifică conform normativului PE 135, cu relația :

$$S_{ee} = \frac{I_{me}}{J_{ee}} \quad (\text{mm}^2)$$

unde I_{me} este sarcina maximă echivalentă în regim normal de funcționare (A)
 J_{ee} - densitatea economică (A / mm²)

b) Sarcina maximă echivalentă de calcul (I_{me}) se determină cu relația :

$$I_{me} = \sqrt{\frac{\sum I_i^2 * L_i}{L_t}} \quad (\text{A})$$

unde I_i este intensitatea curentului de calcul pe tronsonul (i) (A)
 L_i - lungimile tronsoanelor (i) (m)
 L_t - lungimea totală a tronsoanelor considerate (m)

c) Densitatea economică (J_{se}) se determină funcție de durata de utilizare a puterii maxime (T_{um}).

Pentru liniile de distribuție destinate consumatorilor casnici, densitatea economică funcție de durata de utilizare a puterii maxime, este prezentată în tabelul 1.3., conform normativului PE 135.

Tabelul 1.3.

Densitatea economică de curent

	Durata de utilizare a puterii maxime T_{um} (ore/an)							
	1000	2000	3000	4000	5000	6000	7000	8000
LEA j.t. cu cond. izolate torsadate	0,83	0,73	0,65	0,58	0,52	0,47	0,42	0,38

1.3. Verificarea încălzirii conductorilor

Încălzirea conductorilor se verifică prin compararea intensității curentului de calcul pentru care se dimensionează conductorul, cu intensitatea maximă admisibilă.

Intensitatea curentului de calcul se determină cu relația :

$$I_c = \frac{P}{\sqrt{3} * U * \cos \phi} \quad (\text{A})$$

unde P este puterea de lucru pe primul tronson de la postul de transformare (W)
 U - tensiunea nominală (V)

Intensitatea curentului de calcul trebuie să fie mai mică, cel mult egală cu intensitatea maximă admisibilă a conductorului din primul tronson al plecării.

1.4. Calculul căderilor de tensiune

a) *Căderea de tensiune* (a) pe un tronson al liniei se determină prin raportarea momentului electric pe tronsonul respectiv, la momentul electric corespunzător căderii de tensiune de 1% (M1%)

b) *Momentul electric* (M) este o mărime de calcul specifică unui tronson și se obține din produsul dintre puterea de lucru și lungimea tronsonului sau circuitului.

$$M = P_1 * L \quad (\text{kWkm})$$

Momentul electric se determină pentru fiecare tronson în parte:

⇒ pentru consumatori casnici uniform distribuiți de-a lungul tronsonului :

$$M = P_1 * L / 2 \quad (\text{kWkm})$$

⇒ pentru consumatori concentrați la capătul îndepărtat al tronsonului :

$$M = P_{mc} * L \quad (\text{kWkm})$$

unde P_{mc} este suma puterilor tuturor consumatorilor concentratați la capătul tronsonului.

⇒ pentru un circuit (tronson) pe care sunt și consumatori uniform distribuiți și consumatori concentrați la capăt :

$$M = P_1 * L / 2 + P_{mc} * L \quad (\text{kWkm})$$

c) *Momentul electric* (M 1%) corespunzător unei căderi de tensiune $a = 1\%$ se calculează funcție de tensiunea nominală, tipul conductoarelor și factorul de putere :

$$M = \frac{U^2}{r + x * \operatorname{tg} \varphi} * 10^{-5} \quad (\text{kWkm})$$

unde U este tensiunea nominală (V)

r - rezistență specifică a conductoarelor de fază - tabelul 1.4. (Ω/km)

x - impedanță specifică a conductoarelor de fază - tabelul 1.4. (Ω/km)

$\operatorname{tg} \varphi$ - termen derivat din factorul de putere

Tabelul 1.4.

Caracteristicile electrice
ale conductoarelor izolate torsadate

Secțiunea conductoarelor	Rezistență specifică	Reactanță specifică	Intensitatea maxim admisibilă
S (mm ²)	r (Ω/km)	x (Ω/km)	I _{mad} (A)
16 Al	1,802	0,098	75
25 Al	1,181	0,097	97
35 Al	0,833	0,089	119
50 Al	0,579	0,086	141
70 Al	0,437	0,084	180
95 Al	0,308	0,082	210

50 Al $r = 0,606$
70 Al $0,456$

$I_{mc} = 200 \text{ A}$

200 Al.

$1,827 \text{ kWkm}$
 $2,1269$
 $3,352$
 $4,606$
 $7,456$
 $3,323$

1.5. Conditii privind asigurarea protectiei la scurtcircuit

Determinarea valorilor curentilor de scurtcircuit în liniile electrice aeriene de joasă tensiune se face conform normativului PE 134/2 și înndrumarului 1 RE Ip 45 - 90 .

In vederea asigurării protecției la scurtcircuit, plecările liniei din postul de transformare se protejează cu întreruptoare sau siguranțe fuzibile. Curentul nominal al întreruptorului sau siguranței se alege pe baza curentului maxim de sarcină , adoptându-se valoarea standardizată imediat superioară.

Intreruptorul sau siguranța astfel aleasă asigură condiția de deconectare a liniei, în cazul unui scurtcircuit monofazat la capătul plecării , dacă lungimea liniei nu depășește 600 metri. In cazul liniilor aeriene la care lungimea este mai mare de 600 metri, urmează să se monteze o cutie de secționare, prevăzută cu siguranțe fuzibile. Patronul siguranțelor din cutia de secționare se dimensionează funcție de curentul de sarcină al consumatorilor din aval, dar trebuie să fie cu cel puțin două trepte de curent mai mici decât siguranțele sau întreruptorul din cutia de distribuție a postului de transformare, corespunzător plecării respective.

$$I_{sect} \approx 3 * I_{nod} \quad (\text{A})$$

unde I_{nod} este curentul de calcul din nodul în care se montează cutie de secționare.

Se recomandă să se monteze cutii de secționare și în următoarele noduri ale liniei : pe axul liniei la schimbarea secțiunii conductoarelor, la derivații cu schimbare de secțiune, la derivațiile pentru micii consumatori trifazați.

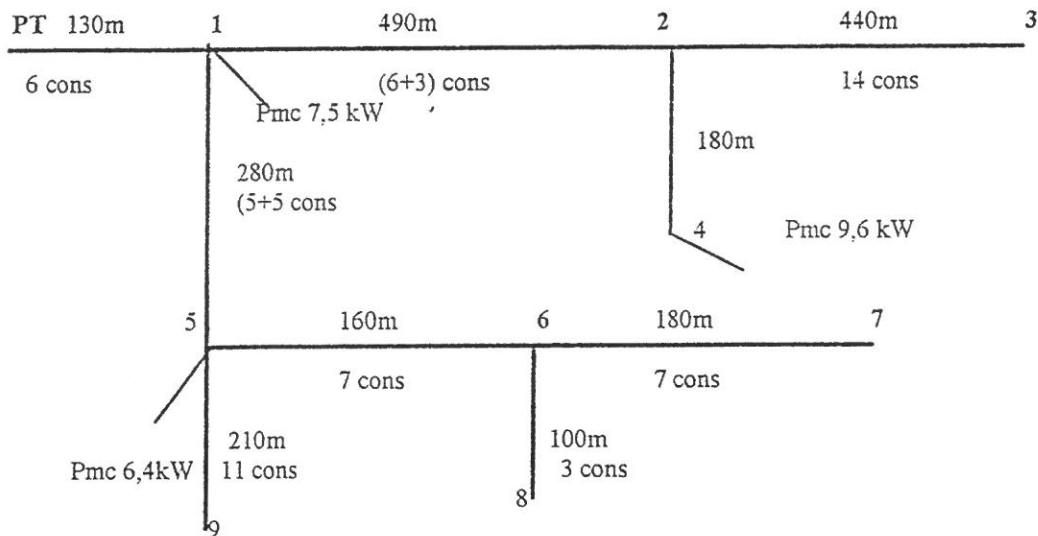
ATENȚIE ! Nu se montează siguranță pe nul !

Dimensionarea din punct de vedere electric a liniilor electrice aeriene de joasă tensiune cu conductoare izolate torsadate se recomandă să se facă utilizând programul de calcul DIM ELEC , program care lucrează sub WINDOWS - EXCEL .

1.6. Exemplu de calcul

Dimensionarea din punct de vedere electric a liniei electrice aeriene de joasă tensiune cu conductoare izolate torsadate, dintr-o localitate rurală dezvoltată. Schema electrică este prezentată în figură.

Schema electrică



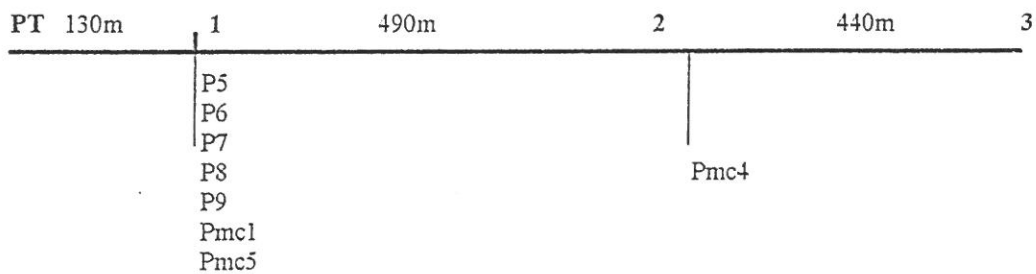
Consumatorii și puterile de calcul:

Tronsonul / nodul	Lungime tronson L (km)	Nr. și tip consum		Putere de calcul Pe (kW)		Mic consum Pmc (kW)	Factor de putere cos φ
		A	B	A	B		
Tronsonul 1	0,13	6	-	1,5	-	7,5	0,90
Tronsonul 2	0,49	6	3	1,5	2,2	-	0,90
Tronsonul 3	0,44	14		1,5	-	-	0,95
Tronsonul 4	0,18	-	-	-	-	9,6	0,80
Tronsonul 5	0,28	5	2	1,5	2,2	6,4	0,85
Tronsonul 6	0,16	7	-	1,5	-	-	0,95
Tronsonul 7	0,18	8	-	1,5	-	-	0,95
Tronsonul 8	0,10	3	-	1,5	-	-	0,95
Tronsonul 9	0,21	11	-	1,5	-	-	0,95

1. Calculul puterilor de lucru pe fiecare tronson

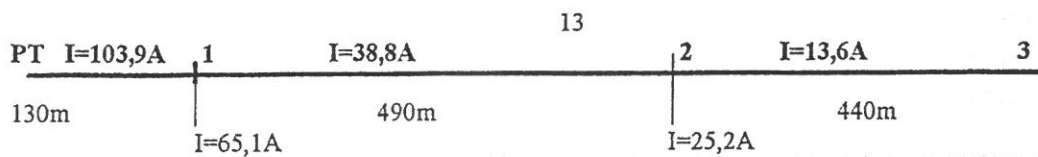
Tronsonul / nodul	Coeficient de simultaneitate A B		Puterea de lucru pe tronson P_1 (kW)
Tronsonul 1	0,49 -		$P_1 = 6 * 1,5 * 0,49 = 4,41 \text{ kW}$ $P_{mc1} = 7,5 \text{ kW}$
Tronsonul 2	0,49 0,52		$P_2 = 6 * 1,5 * 0,49 + 3 * 2,2 * 0,52 = 7,84 \text{ kW}$
Tronsonul 3	0,45 -		$P_3 = 14 * 1,5 * 0,45 = 9,45 \text{ kW}$
Tronsonul 4	- -		$P_{mc4} = 9,6 \text{ kW}$
Tronsonul 5	0,49 0,52		$P_5 = 5 * 1,5 * 0,49 + 2 * 2,2 * 0,52 = 5,96 \text{ kW}$ $P_{mc5} = 6,4 \text{ kW}$
Tronsonul 6	0,59 -		$P_6 = 7 * 1,5 * 0,49 = 5,15 \text{ kW}$
Tronsonul 7	0,49 -		$P_7 = 8 * 1,5 * 0,49 = 5,88 \text{ kW}$
Tronsonul 8	0,52 -		$P_8 = 3 * 1,5 * 0,52 = 2,34 \text{ kW}$
Tronsonul 9	0,45 -		$P_9 = 11 * 1,5 * 0,45 = 7,43 \text{ kW}$

2.a. Puterea și curentii de calcul în noduri (pe schema radiară simplificată) pentru tronsoanele 1,2,3 :



Nodul	P (kW)	I (A)
1	$P_1 + P_{mc1} = 4,41 + 7,5 = 11,91 \text{ kW}$ $P_5 + P_6 + P_7 + P_8 + P_9 + P_{mc5} =$ $= 5,96 + 5,15 + 5,88 + 2,34 + 7,43 + 6,4 = 33,16 \text{ kW}$ $P_2 + P_3 + P_{mc4} = 7,84 + 9,45 + 9,6 = 26,89 \text{ kW}$ Total nod 1 = 71,96 kW	103,9
2	$P_2 = 7,84 \text{ kW}$ $P_3 + P_{mc4} = 9,45 + 9,6 = 19,05 \text{ kW}$ Total nod 2 = 26,89 kW	38,8
3	$P_3 = 9,45 \text{ kW}$	13,6

$U = 400V$



3. a) Sarcina maximă echivalentă de calcul pe tronsoanele 1,2 și 3 .

$$I_{me} = \sqrt{(103,9^2 * 0,13 + 38,8^2 * 0,49 + 13,6^2 * 0,44) / 1,06} = 45,8 \text{ A}$$

Determinarea secțiunii economice : $S_{ec} = I_{me} / J_{ec}$

$$J_{ec} = 0,73 \text{ A/mm}^2 \text{ corespunzător unei durate de utilizare a puterii maxime de 2000 ore/an}$$

$$S_{ec} = 45,8 / 0,73 = 62,7 \text{ mm}^2$$

Se adoptă, pentru tronsonul 1 secțiunea economică de 70 mm^2 .

b) Sarcina maximă echivalentă de calcul pe tronsoanele 2 și 3 .

$$I_{me} = \sqrt{(38,8^2 * 0,49 + 13,6^2 * 0,44) / 0,93} = 29,7 \text{ A}$$

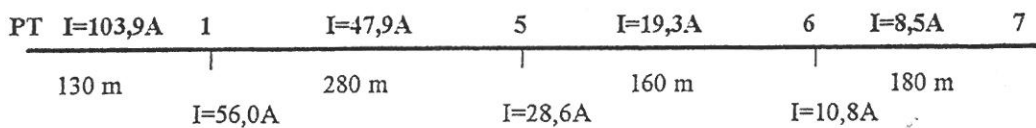
$$S_{ec} = 29,7 / 0,73 = 40,7 \text{ mm}^2$$

Se adoptă, pentru tronsonul 2 secțiunea economică de 50 mm^2 .

2.b. Puterea și curenții de calcul în noduri (pe schema radiară simplificată) pentru tronsoanele 1,5,6,7 :

Sarcina maximă echivalentă de calcul pe tronsoanele 5,6 și 7 .

Nodul	P (kW)	I (A)
5	$P_5 + P_{mc} = 5,96 + 6,4 = 12,36 \text{ kW}$ $P_6 + P_7 + P_8 = 5,15 + 5,88 + 2,34 = 13,37 \text{ kW}$ $P_9 = 7,43 \text{ kW}$ Total nod 5 = 33,16 kW	47,9
6	$P_6 = 5,15 \text{ kW}$ $P_7 = 5,88 \text{ kW}$ $P_8 = 2,34 \text{ kW}$ Total nod 6 = 13,37 kW	19,3
7	$P_7 = 5,88 \text{ kW}$	8,5



$$I_{me} = \sqrt{(47,9^2 * 0,28 + 19,3^2 * 0,16 + 8,5^2 * 0,18) / 0,62} = 33,9 \text{ A}$$

$$S_{ec} = 33,9 / 0,73 = 46,5 \text{ mm}^2$$

Se adoptă, pentru tronsonul 5 secțiunea economică de 50 mm^2 .

$$I_{me} = \sqrt{(19,3^2 * 0,16 + 8,5^2 * 0,18) / 0,34} = 14,6 \text{ A}$$

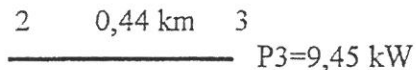
$$S_{ec} = 14,6 / 0,73 = 20 \text{ mm}^2$$

Se adoptă, pentru tronsonul 6 și pentru 7,8, și 9 secțiunea economică de 35 mm^2 .

4. Calculul momentelor electrice pe tronsoane:

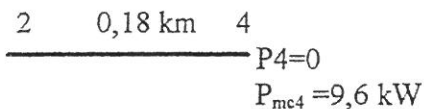
Tronsonul 3

$$M_3 = 0,44 * 9,45 / 2 = 2,08 \text{ kWkm}$$



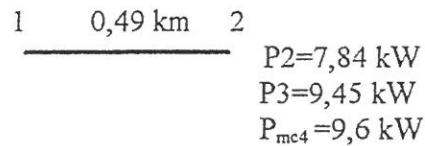
Tronsonul 4

$$M_4 = 0,18 * 9,6 = 1,73 \text{ kWkm}$$



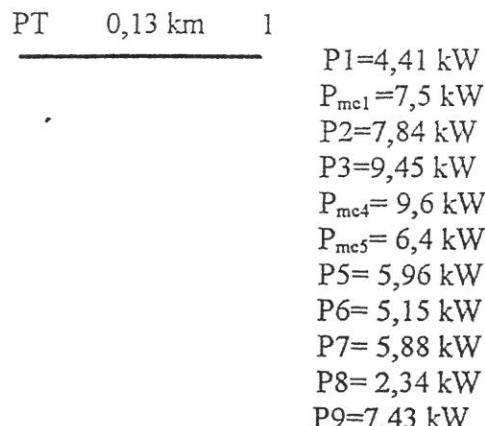
Tronsonul 2

$$\begin{aligned} M_2 &= 0,49 * 7,84 / 2 + \\ &0,49 * 9,45 + \\ &0,49 * 9,6 = 11,26 \text{ kWkm} \end{aligned}$$



Tronsonul 1

$$\begin{aligned} M_1 &= 0,13 * 4,41 / 2 + \\ &0,13 * 7,50 + \\ &0,13 * 7,84 + \\ &0,13 * 9,45 + \\ &0,13 * 9,60 + \\ &0,13 * 6,40 + \\ &0,13 * 5,96 + \\ &0,13 * 5,15 + \\ &0,13 * 5,88 + \\ &0,13 * 2,34 + \\ &0,13 * 7,43 = 9,07 \text{ kWkm} \end{aligned}$$



Tronsonul 7

$$M7=0,18*5,88/2= 0,53 \text{ kWkm}$$

6 0,18 km 7
P7=5,88 kW

Tronsonul 8

$$M8=0,10*2,34/2= 0,12 \text{ kWkm}$$

6 0,1 km 8
P8=2,34 kW

Tronsonul 6

$$\begin{aligned} M6 &= 0,16*5,15/2+ \\ &\quad 0,16*5,88+ \\ &\quad 0,16*2,34= 1,60 \text{ kWkm} \end{aligned}$$

5 0,16 km 6
P6=5,15 kW
P7=5,88 kW
P8=2,34 kW

Tronsonul 9

$$M9=0,21*7,43/2= 0,78 \text{ kWkm}$$

5 0,21 km 9
P9=7,43 kW

Tronsonul 5

$$\begin{aligned} M2 &= 0,28*5,96/2+ \\ &\quad 0,28*6,40+ \\ &\quad 0,28*5,15+ \\ &\quad 0,28*5,88+ \\ &\quad 0,28*2,34+ \\ &\quad 0,28*7,43= 8,45 \text{ kWkm} \end{aligned}$$

1 0,28 km 5
P5=5,96 kW
 $P_{mc5}=6,4 \text{ kW}$
P6=5,15 kW
P7=5,88 kW
P8=2,34 kW
P9=7,43 kW

Tronsonul 1

$$\begin{aligned} M1 &= 0,13*4,41/2+ \\ &\quad 0,13*7,50+ \\ &\quad 0,13*7,84+ \\ &\quad 0,13*9,45+ \\ &\quad 0,13*9,60+ \\ &\quad 0,13*6,40+ \\ &\quad 0,13*5,96+ \\ &\quad 0,13*5,15+ \\ &\quad 0,13*5,88+ \\ &\quad 0,13*2,34+ \\ &\quad 0,13*7,43 = 9,07 \text{ kWkm} \end{aligned}$$

PT 0,13 km 1
P1=4,41 kW
 $P_{mc1}=7,5 \text{ kW}$
P2=7,84 kW
P3=9,45 kW
 $P_{mc4}=9,6 \text{ kW}$
 $P_{mc5}=6,4 \text{ kW}$
P5=5,96 kW
P6=5,15 kW
P7=5,88 kW
P8=2,34 kW
P9=7,43 kW

5. Calculul momentului electric M 1% pe tronsoane :

$$M1\% = \frac{U^2 * 10^{-5}}{(r + x * \operatorname{tg} \varphi)} \quad (\text{kWkm})$$

Tronson	$\cos \varphi$	Secțiunea mm^2	M 1% (kWkm)	M (kWkm)	Căderea de tensiune (a) (%)
1	0,90	70	3,36	9,07	2,70
2	0,90	50	2,59	11,26	4,35
3	0,95	35	1,86	2,08	1,12
4	0,80	35	1,12	1,73	1,54
5	0,85	50	2,55	8,45	3,32
6	0,95	35	1,86	1,76	0,93
7	0,95	35	1,86	0,53	0,28
8	0,95	35	1,86	0,12	0,06
9	0,95	35	1,86	0,78	0,42

6. Căderea de tensiune se obține din relația :

$$a = \frac{M}{M1\%} \quad (\%)$$

Căderile de tensiune (cumulate) în noduri :

Nodul	a (%)	Nodul	a (%)
1	2,70	1	2,70
2	7,05	5	6,01
3	8,17	6	6,94
4	8,59	7	7,23
		8	7,00
		9	6,43

8. Verificarea încălzirii conductoarelor :

Pentru tronsonul 1 care este cel mai solicitat termic, având curentul cel mai mare :

$$\underline{\text{Tronsonul 1 : }} I = 103,9 \text{ A} < I_{m.ad.} (70 \text{ mm}^2) = 180 \text{ A}$$

9. Verificarea protecției la scurtcircuit :

Plecarea din postul de transformare se protejează cu siguranțe fuzibile sau întreruptor. Curentul nominal al fuzibilelor, sau curentul nominal al întrerupatorului trebuie să fie de 160 A, corespunzător secțiunii conductoarelor - 70 mm^2 .

Deoarece lungimile de la post la punctele terminale ale liniei , nodurile 3, 4, 7, 8, 9 depășesc lungimile recomandate pentru protecția la scurt circuit, este necesar să se monteze cutii de secționare în nodurile 2 (distanța de la PT până în nodul 2 este de 620 m) și în nodul 6 (distanța de la PT până în nodul 6 este de 570 m).

Curenții nominali ai fuzibilelor din cutia de secționare din nodul 2 vor fi :

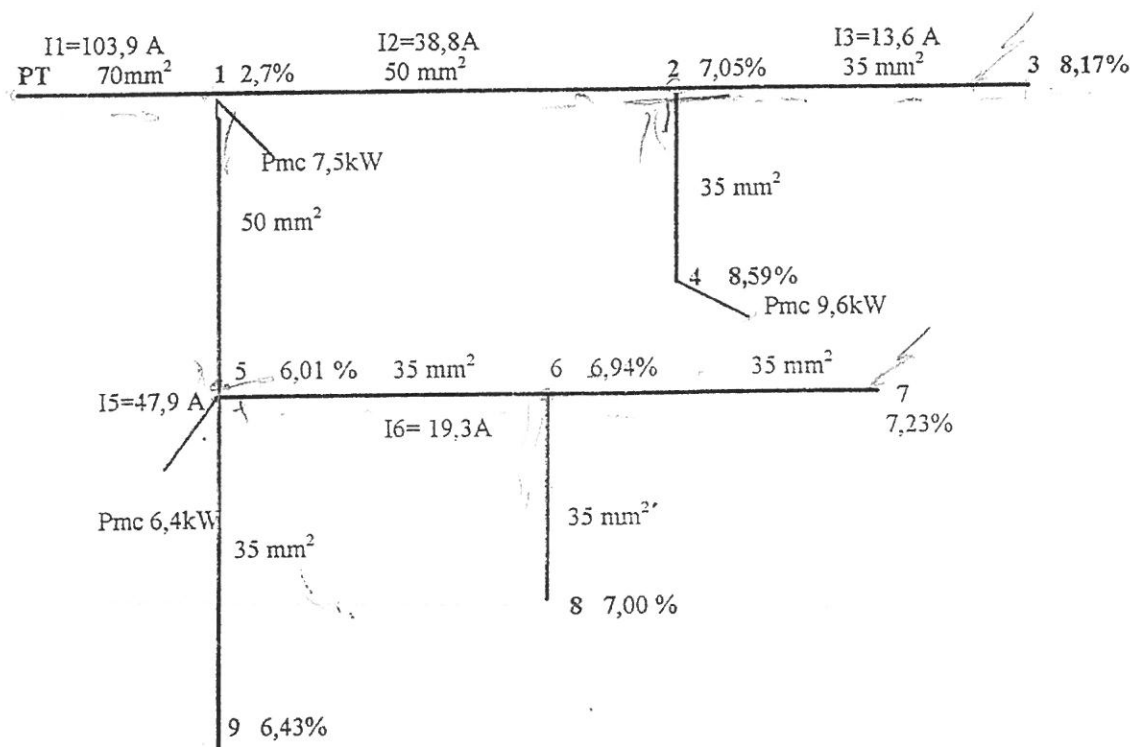
$$I_{\text{sec}} < 3 * I_{\text{nod } 2} = 3 * 38,8 \text{ A} \Rightarrow 100 \text{ A.}$$

Curenții nominali ai fuzibilelor din cutia de secționare din nodul 6 vor fi :

$$I_{\text{sec}} < 3 * I_{\text{nod } 6} = 3 * 19,3 \text{ A} \Rightarrow 80 \text{ A.}$$

10. *Concluzii* : Linia se realizează cu fascicul TYIR 50+3x70+2x16 pe tronsonul 1 , cu fascicul TYIR 50+3x50+2x16 pe tronsoanele 2 și 5, iar pe celealte tronsoane cu fascicul TYIR 50+3x35+16.

Se montează cutii de secționare în nodurile 2 și 6.



18

**LINIE ELECTRICĂ AERIANĂ de JOASĂ TENSIUNE
CONDUCTOARE IZOLATE TORSADATE**

21.Jul.98

Denumirea liniei **Exemplul de calcul**

Calculul secțiunilor economice [1]

Așezare trons.

	1	5	6	7
2		9	8	
3				
4				

Tronson		1	5	6	7							Total
Lung. tronson	Km	0,13	0,28	0,16	0,18	0	0	0	0	0	0	0,75
Puteri în nod	kW	71,96	33,15	13,37	5,88							
Curent în nod	A	103,9	47,9	19,3	8,5							
Secțiunea	mm ²	70	50	35	35							

Calculul căderilor de tensiune pe tronsoane

Tronson		1	5	6	7						
cos φ		0,93	0,94	0,96	0,88						
M1%	kWkm	3,36	2,59	1,86	1,81						
Moment electr	kWkm	9,07	8,45	1,73	0,53						
Căd. de tens.	%	2,70	3,27	0,93	0,29						
Căd tens sumată	%	2,70	5,96	6,89	7,18						

Calculul secțiunilor economice [2]

Așezare trons.

	1	2	3
5		4	
6			
7			
8			
9			

Tronson		1	2	3								Total
Lung. tronson	Km	0,13	0,49	0,44	0	0	0	0	0	0	0	1,06
Puteri în nod	kW	71,96	26,89	9,45								
Curent în nod	A	103,9	38,8	13,6								
Secțiunea	mm ²	70	50	35								

Calculul căderilor de tensiune pe tronsoane

Tronson		1	2	3							
cos φ		0,93	0,94	0,96							
M1%	kWkm	3,36	2,59	1,86							
Moment electr	kWkm	9,07	11,26	2,08							
Căd. de tens.	%	2,70	4,35	1,12							
Căd tens sumată	%	2,70	7,05	8,17							

**LINIE ELECTRICĂ AERIANĂ de JOASĂ TENSIUNE
CONDUCTOARE IZOLATE TORSADATE**

21.Jul.98

Denumirea liniei
Tip localitate

1 - loc. din mediul urban 2 - loc. din mediul rural - sat izolat 3 - loc. din mediul rural - sat dezvoltat

Exemplul de calcul

3

Puteri de calcul
consumatorii tip

Pc	1,5 A - iluminat și utilizări casnice
2,2	B - idem A și asigurarea apei calde
2,5	C - idem B și gătit electric
3,5	D - idem C și încălzit electric

Tronson	1	2	3	4	5	6	7	8	9	10	11	12	13	14	15	TOTAL
Lungime L	Km	0,13	0,49	0,44	0,18	0,28	0,16	0,18	0,1	0,21						2,17
Nr. consum casnici	A	6	6	14		5	7	8	3	11						60
	B		3			2										5
	C															0
	D															0
Pc / trons	kW	4,41	7,84	9,45		5,96	5,15	5,88	2,34	7,43						
P mic cons	kW	7,5			9,6	6,4										
Pc total / tronson	kW	11,91	7,84	9,45	9,60	12,36	5,15	5,88	2,34	7,43						

19

2. DATE DE CALCUL PENTRU DIMENSIONAREA MECANICĂ

2.1. Date meteorologice

2.1.1. Liniile electrice aeriene de joasă tensiune cu conductoare izolate torsadate trebuie să fie dimensionate din punct de vedere mecanic astfel încât să suporte eforturile mecanice care acționează asupra lor, eforturi datorate acțiunii factorilor meteorologici specifici zonei țării noastre.

La proiectarea liniilor electrice aeriene se ține seama de intensitatea și frecvența principaliilor factori climato-meteorologici : temperatura aerului, viteza vântului, depunerile de chiciură.

Din acest punct de vedere teritoriul țării noastre se împarte în cinci zone meteorologice , conform STAS 10.101/20 - 90, zone prezentate în figura 2.1:

A : Ardeal și Subcarpați meridionali ;

B : Moldova și Muntenia ;

C : Moldova de nord-est, litoralul Mării Negre , o zonă din centrul Munteniei și sudul

Caraș-Severinului ;

D și E : Zone de munte, cu altitudini de peste 800 m și condiții deosebite de vânt și depunerile de chiciură .

Valorile factorilor meteorologici : temperatura aerului, presiunea dinamică dată de vânt, grosimea statului de chiciură și coeficienții de corecție funcție de tipul de amplasament, conform normativului PE 106 - 95 , sunt prezentate în tabelele 2.1, 2.2 și 2.3.

Liniile electrice aeriene de joasă tensiune pot fi realizate în următoarele zone de amplasament:

* *Amplasament I* - zonele deschise (câmpii, dealuri domoale, litoralul mării sau marginea lacurilor), precum și amplasamente din zone construite cu obstacole cu înălțimi mai mici de 10 m .

* *Amplasament II* - zone din interiorul localităților (cu excepția centrelor marilor orașe), alte amplasamente similare acoperite uniform cu obstacole cu înălțimi de peste 10 m

(de exemplu : zone cu masive forestiere și.a.).

* *Amplasament III* - zone din centrele marilor orașe, cu clădiri dens construite, majoritatea clădirilor având înălțimi de 30 m sau mai mari .

Tabelul 2.1.

Valorile temperaturii aerului

Zona meteorologică	Temperatura aerului (°C)			
	maximă	minimă	medie	de formare a chiciurei
Toată țara	40	- 30	15	- 5
Zone cu altitudini peste 800 m.	40	- 30	10	- 5

Tabelul 2.2.

Presiunea dinamică dată de vânt

Zona meteorologică	Presiunea dinamică de bază(daN/m ²)		Grosimea stratului de chiciură normată (mm)
	Vânt maxim fără chiciură	Vânt simultan cu chiciură	
	p _{v,max}	p _{v+ch}	b _{ch}
A	30	12	16
B	42	15	22
C	55	17	22
D și E	-	-	-

Notă: Pentru zonele D și E se vor cere date de la Institutul Național de Meteorologie .

Tabelul 2.3.

Coeficienții de corecție a vitezei vântului și grosimii stratului de chiciură

	β_v	Tip amplasament		
		I	II	III
Coeficientul de corecție a vitezei vântului	β_v	1,5	1,0	0,4
Coeficientul de corecție a grosimii stratului de chiciură	β_{ch}	1,0	0,6	0,4

2.1.2. Calculele de dimensionare a elementelor componente a liniilor cu conductoare izolate torsadate se efectuează conform prevederilor din normativul PE 106 - 95, luându-se în considerare următoarele grupări ale factorilor meteorologici (ipoteze de dimensionare) :

- a) Temperatură minimă : temperatura minimă, vântul și chiciura lipsesc ;
- b) Temperatură medie : temperatura medie , vântul și chiciura lipsesc ;
- c) Temperatură medie și vânt : temperatura medie , viteza vântului de 10 m/s, chiciura lipsește ;
- d) Vânt maxim : temperatura medie , viteza maximă a vântului, chiciura lipsește;
- e) Temperatură maximă : temperatura maximă , vântul și chiciura lipsesc ;
- f) Încărcare cu chiciură : temperatura de formare a chiciurei și depuneri de chiciură pe elementele liniei, vântul lipsește ;
- g) Vânt simultan cu chiciură : temperatura de formare a chiciurei și depuneri de chiciură pe elementele liniei, vânt simultan cu chiciura ;

In baza datelelor climato-meteorologice prezentate mai sus, se determină valorile încărcărilor normate și de calcul, care servesc la determinarea tracțiunilor și săgeților (conform cap.3) și a domeniilor de utilizare a stâlpilor (conform cap. 4).

2.2. Incărcări unitare normate

2.2.1. Greutatea fascicului de conductoare :

$$g_{1n} = g_f \quad (\text{daN/m})$$

în care g_f este greutatea unui metru de fascicul (daN/m)

2.2.2. Greutatea depunerii de chiciură pe fascicul :

$$g_{2n} = \pi * b * (b + d_e) * \gamma_{ch} * 10^{-3} \quad (\text{daN/m})$$

în care : b este grosimea statului de chiciură : $b = \beta_{ch} * b_{ch}$ (mm)

β_{ch} - coeficientul de corecție a grosimii chiciurei

b_{ch} - grosimea normată a stratului de chiciură (mm)

d_e - diametrul echivalent al fasciculului (mm) - vezi cap. 3.

γ_{ch} - densitatea chiciurei (se recomandă $\gamma_{ch} = 0,75 \text{ daN/dm}^3$)

2.2.3. Greutatea fasciculului acoperit cu chiciură :

$$g_{3n} = g_{1n} + g_{2n} \quad (\text{daN/m})$$

$$g_{3n} = g_f + \pi * b * (b + d_e) * \gamma_{ch} * 10^{-3} \quad (\text{daN/m})$$

2.2.4. Incărcarea dată de vânt maxim pe fascicul

$$g_{4n} = C_{tc} * \beta_v * p_{v,max} * d_e * 10^{-3} \quad (\text{daN/m})$$

în care C_{tc} este coeficientul aerodinamic al fasciculului,

$C_{tc} = 1,1$ pentru fascicule cu $d_e > 20 \text{ mm}$,

$C_{tc} = 1,2$ pentru fascicule cu $d_e \leq 20 \text{ mm}$,

β_v - coeficientul de corecție a vitezei vântului,

$p_{v,max}$ - presiunea dinamică dată de vânt maxim, (daN/m^2)

d_e - diametrul echivalent al fasciculului. (mm)

2.2.5. Incărcarea dată de vânt pe fascicul acoperit cu chiciură :

$$g_{5n} = C_{tc} * \beta_v * p_{v+ch} * (d_e + 2b) * 10^{-3} \quad (\text{daN/m})$$

în care C_{tc} este coeficientul aerodinamic al fasciculului acoperit cu chiciură : $C_{tc} = 1,2$

β_v - coeficientul de corecție a vitezei vântului,

p_{v+ch} - presiunea dinamică dată de vânt simultan cu chiciură, (daN/m^2)

d_e - diametrul echivalent al fasciculului. (mm)

b este grosimea statului de chiciură : $b = \beta_{ch} * b_{ch}$ (mm)

2.2.6. Incărcarea totală pe fascicul , în ipoteza vânt maxim :

$$g_{6n} = \sqrt{g_{1n}^2 + g_{4n}^2}$$

2.2.7. Incărcarea totală pe fascicul , în ipoteza vânt simultan cu chiciură :

$$g_{7n} = \sqrt{g_{3n}^2 + g_{5n}^2}$$

2.3. Încărcări unitare de calcul

2.3.1. Greutatea unitară a fasciculului :

$$g_{1c} = 1,1 \text{ } g_{1n}$$

2.3.2. Greutatea depunerii de chiciură pe fascicul :

$$g_{2c} = 1,8 \text{ } g_{2n}$$

2.3.3. Greutatea fasciculului acoperit cu chiciură :

$$g_{3c} = g_{1c} + g_{2c}$$

2.3.4. Încărcarea dată de vânt maxim pe fascicul :

$$g_{4c} = 1,3 \text{ } g_{4n}$$

*) pt. zonele D și E
coef. e de 1,5.

2.3.5. Încărcarea dată de vânt pe fascicul acoperit cu chiciură :

$$g_{5c} = 1,3 \text{ } g_{5n}$$

2.3.6. Încărcarea totală pe fascicul , în ipoteza vânt maxim :

$$g_{6c} = \sqrt{g_{1c}^2 + g_{4c}^2}$$

2.3.7. Încărcarea totală pe fascicul , în ipoteza vânt simultan cu chiciură :

$$g_{7c} = \sqrt{g_{3c}^2 + g_{5c}^2}$$

□) Notă : Pentru zonele meteorologice D și E coeficientul este 1,5.

2.4. Încărcări specifice normate și de calcul :

Încărcările specifice normate ($\gamma_{1n} \div \gamma_{7n}$) și de calcul ($\gamma_{1c} \div \gamma_{7c}$) se obțin din încărcările unitare prin împărțire la secțiunea reală a nulului purtător.

2.5. Încărcări orizontale de calcul :

Încărcările orizontale de calcul sunt datorate acțiunii factorilor meteorologici asupra fasciculului de conductoare și asupra stâlpilor. Efectul factorilor meteorologici asupra accesoriilor este mic și poate fi neglijat.

2.5.1. Încărcări orizontale de calcul pe conductoare :

a) ipoteza vânt maxim : $F = g_{4c} * a_v * \sin^2 \varphi \text{ (daN)}$

b) ipoteza vânt simultan cu chiciură : $F = g_{5c} * a_v * \sin^2 \varphi \text{ (daN)}$

în care g_{4c} este încărcarea de calcul dată de vânt maxim,

g_{5c} - încărcarea de calcul dată de vânt simultan cu chiciură,

a_v - deschiderea dintre stâlpi corespunzătoare încărcărilor date de vânt,

φ - unghiul dintre direcția vântului și axul liniei.

2.5.2 Încărcări orizontale de calcul pe stâlpi :

- a) ipoteza vânt maxim : $V = 1,3 * Cts * \beta_v * p_{v,max} * A_{st}$ (daN)
- b) ipoteza vânt simultan cu chiciură : $V = 1,3 * Cts * \beta_v * p_{v+ch} * A_{st} * k_{st}$ (daN)

în care Cts este coeficientul aerodinamic al stâlpului ,
 $Cts = 0,7$ pentru stâlpi cu secțiune circulară

$Cts = 2,0$ pentru stâlpi cu suprafețe plane

β_v - coeficientul de crecție a vitezei vântului,

$p_{v,max}$ - presiunea dinamică dată de vânt maxim, (daN/m²)

p_{v+ch} - presiunea dinamică dată de vânt simultan cu chiciură, (daN/m²)

A_{st} - suprafața stâlpului expusă vântului (m²),

k_{st} - coeficientul de majorare a suprafeței stâlpului datorită depunerilor de chiciură

(numai pentru stâlpii cu alveole - $k_{st} = 1,5$)

2.6. Încărcări verticale de calcul

2.6.1. Încărcări verticale de calcul datorate conductoarelor :

- a) ipoteza temperatură medie : $G = g_{1c} * a_g$ (daN)
- b) ipoteza chiciură : $G = g_{3c} * a_g$ (daN)

în care g_{1c} este încărcarea de calcul datorată greutății fasciculului

g_{3c} - încărcarea datorată greutății fasciculului cu chiciură

a_g - deschiderea dintre stâlpi la încărcări verticale (corespunzătoare greutății fasciculului)

2.6.2. Încărcări verticale de calcul datorate greutății stâlpului:

- a) ipoteza temperatură medie : $G_{st,c} = 1,1 * G_{st}$ (daN)
- b) ipoteza chiciură : $G_{st,c} = 1,3 * G_{st} * k_g$ (daN)

în care G_{st} este greutatea stâlpului (daN),

k_g - coeficientul de majorare a gruțății stâlpului datorită depunerilor de chiciură

$k_g = 1,1$

2.7. Exemplu de calcul

Determinarea încărcărilor pentru un fascicul de conductoare izolate torsadate TYIR 50+3x70+2x16,
zona meteorologică B, zona de amplasament II.

1. Caracteristicile fasciculului :

- diametrul echivalent : $d_e = 39,3$ mm (vezi modul de calcul la cap. 3.)
- secțiunea reală a nulului purtător : $S_r = 56,3$ mm²
- greutate fascicul : $G_f = 1,495$ daN/mm²

2. Date meteorologice :

- presiune dinamică dată de vânt maxim : $p_{v,max} = 42$ daN/m²
- presiune dinamică dată de vânt simultan cu chiciură : $p_{v+ch} = 15$ daN/m²
- grosimea stratului de chiciură : $b_{ch} = 22$ mm
- coefficient de corecție a vitezei vântului : $\beta_v = 1,0$
- coefficient de corecție a grosimii stratului de chiciură : $\beta_{ch} = 0,6$

3. Calculul încărcărilor normate :

$$g_{1n} = 1,495 \text{ daN/m}$$

$$g_{2n} = 3,14 * 13,2 * (13,2 + 39,2) * 0,75 * 10^5 = 1,6328 \text{ daNm}$$

$$g_{3n} = 1,495 + 1,6328 = 3,1278 \text{ daNm}$$

$$g_{4n} = 1,1 * 1,0 * 42 * 39,3 * 10^3 = 1,8157 \text{ daNm}$$

$$g_{5n} = 1,2 * 1,0 * 15 * (39,3 + 2 * 13,2) * 10^3 = 1,1826 \text{ daNm}$$

$$g_{6n} = \sqrt{1,495^2 + 1,8157^2} = 2,3519 \text{ daNm}$$

$$g_{7n} = \sqrt{3,1278^2 + 1,084^2} = 3,3439 \text{ daNm}$$

3. Calculul încărcărilor de calcul :

$$g_{1c} = 1,1 * 1,495 = 1,6445 \text{ daNm}$$

$$g_{2c} = 1,8 * 1,6328 = 2,9391 \text{ daNm}$$

$$g_{3c} = 1,6445 + 2,9391 = 4,5836 \text{ daNm}$$

$$g_{4c} = 1,3 * 1,8157 = 2,3604 \text{ daNm}$$

$$g_{5c} = 1,3 * 1,1826 = 1,5374 \text{ daNm}$$

$$g_{6c} = \sqrt{1,6445^2 + 2,3604^2} = 2,8767 \text{ daNm}$$

$$g_{7c} = \sqrt{4,5836^2 + 1,5374^2} = 4,8346 \text{ daNm}$$

4. Calculul încărcărilor specifice normate și de calcul :

$$\gamma_{1n} = 0,02655 \text{ daN/m.mm}^2$$

$$\gamma_{1c} = 0,02921 \text{ daN/m.mm}^2$$

$$\gamma_{2n} = 0,02900 \text{ daN/m.mm}^2$$

$$\gamma_{2c} = 0,05220 \text{ daN/m.mm}^2$$

$$\gamma_{3n} = 0,05556 \text{ daN/m.mm}^2$$

$$\gamma_{3c} = 0,08141 \text{ daN/m.mm}^2$$

$$\gamma_{4n} = 0,03225 \text{ daN/m.mm}^2$$

$$\gamma_{4c} = 0,04192 \text{ daN/m.mm}^2$$

$$\gamma_{5n} = 0,02100 \text{ daN/m.mm}^2$$

$$\gamma_{5c} = 0,02731 \text{ daN/m.mm}^2$$

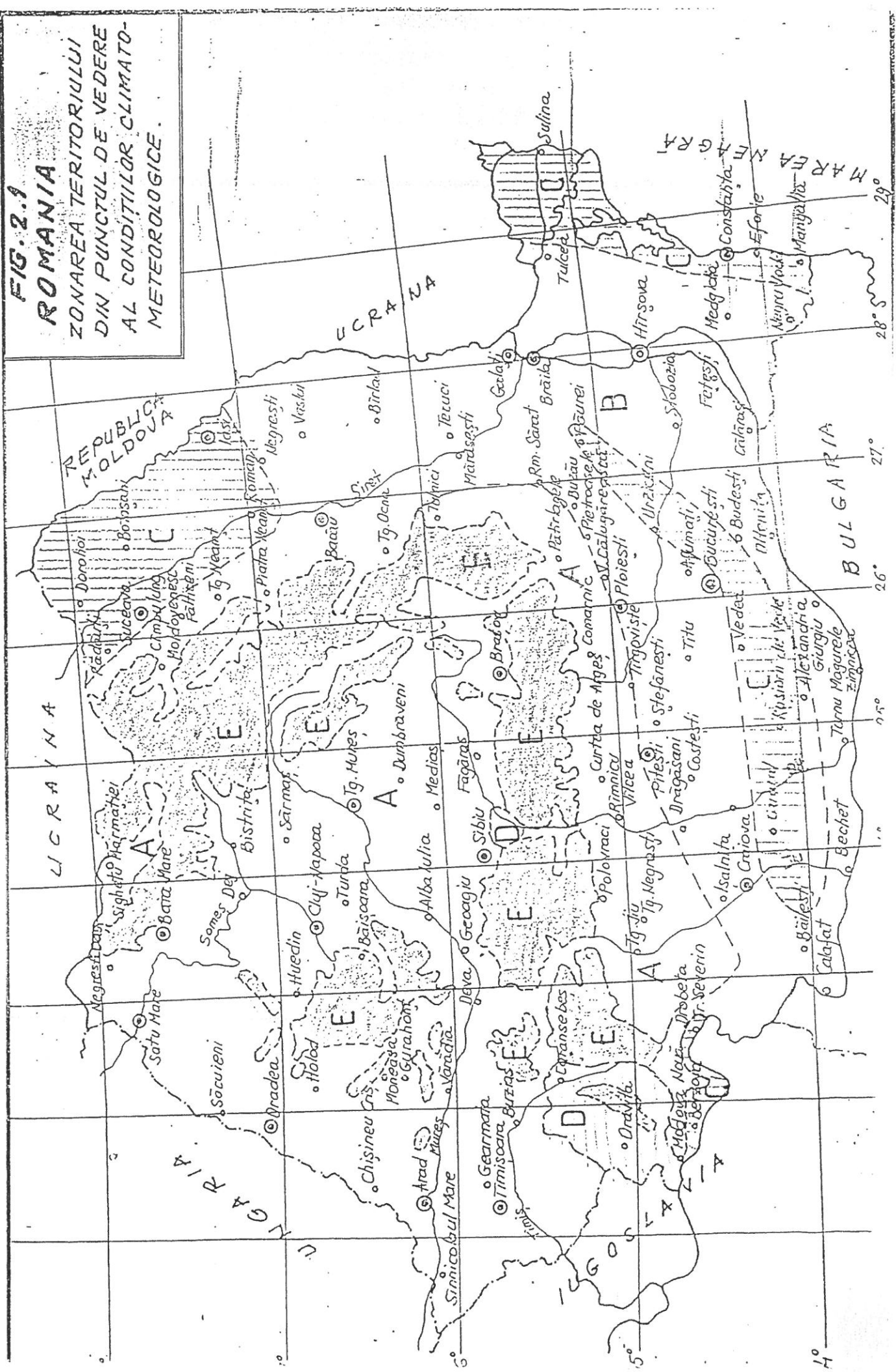
$$\gamma_{6n} = 0,04177 \text{ daN/m.mm}^2$$

$$\gamma_{6c} = 0,05110 \text{ daN/m.mm}^2$$

$$\gamma_{7n} = 0,05939 \text{ daN/m.mm}^2$$

$$\gamma_{7c} = 0,08587 \text{ daN/m.mm}^2$$

FIG. 2.1
ROMANIA
ZONAREA TERITORIULUI
DIN PUNCTUL DE VEDERE
AL CONDITIILOR CLIMATICO-METEOROLOGICE



3. FASCICULE DE CONDUCTOARE IZOLATE TORSADATE

3.1. Introducere

Pentru realizarea liniilor electrice aeriene de joasă tensiune (tensiunea nominală de max. 1000 V inclusiv) se folosesc fascicule de conductoare izolate torsadate.

Un fascicul este compus dintr-un conductor din oțel-aluminiu sau aliaj de aluminiu cu rol de *nul purtător*, trei conductoare din aluminiu - *conductoare de fază* - pentru alimentarea consumatorilor casnici și unul, două sau trei *conductoare pentru iluminatul public*. Toate conductoarele sunt izolate și răsucite (torsadate) într-un fascicul.

Izolația conductoarelor este realizată din materiale plastice (policlorură de vinil, polietilenă reticulată și.a.) rezistente la intemperii și cu întârziere la propagarea flăcării.

Fasciculele de conductoare izolate torsadate se simbolizează cu litere și cifre:

T - fascicul de conductoare torsadate

Y - Izolație din PVC

I - rezistent la intemperii

R - rezistent la ardere

50 AlOl - secțiunea și materialul nului purtător

3x50 Al - numărul, secțiunea și materialul conductoarelor de fază pentru alimentări casnice

1x16 Al - numărul, secțiunea și materialul conductoarelor pentru iluminat public

Fascicule de conductoare izolate se utilizează în următoarele condiții de mediu :

- temperatură ambiantă: -30 °C ...+40 °C;

- altitudine : maxim 1000 m;

- medii normale, cu grad de poluare I, II și III, definite conform PE 109, în aer liber, suflare acțiunea razelor de soare, intemperii, variații de temperatură, umiditatea relativă a aerului 100 %.

Pentru identificare, conductoarele fasciculului se marchează prin imprimare pe izolație, în relief, pe toată lungimea lor, la intervale de cca. 1 m :

ZERO , marca fabricii și anul de fabricație - pentru nul purtător. Suplimentar, nulul purtător este prevăzut cu dungi longitudinale în relief, pe izolație, pe toată lungimea.

UNU, DOI, TREI - pentru conductoarele de fază ;

IP1, IP2 - pentru conductoarele de iluminat public.

3.2. Dimensionarea mecanică a fasciculelor

Calculul mecanic al conductoarelor se efectuează după *metoda la stări limită*, în care rezistențele de calcul sunt stabilite în procente din rezistența de rupere calculată (P_r) a conductorului nul purtător.

Prin calcul se urmărește ca rezistența mecanică de calcul să nu fie depășită cu mai mult de 5%, în punctele de prindere ale conductorului în cleme, la diferite ipoteze de încărcare.

Calculele de dimensionare mecanică a fasciculului se fac considerând că eforturile mecanice sunt suportate de conductorul din oțel-aluminiu, nulul purtător, conductor în jurul căruia sunt răsucite conductoarele de fază. În conductoarele de fază se presupune că nu apar eforturi mecanice.

Rezistența de rupere calculată a nulului purtător este :

$$P_{rc} = 0,95 * \sigma_r / S_r \quad (\text{da N/mm}^2)$$

în care σ_r este rezistența de rupere a conductorului 50 OAl

S_r - secțiunea reală a conductorului 50 OAl

Starea de dimensionare

Se verifică următoarele ipoteze de dimensionare :

1) vânt simultan cu chiciură - valoarea maximă a rezistenței de calcul va fi: $\kappa_1 \cdot P_{rc}$

2) temperatură minimă - valoarea maximă a rezistenței de calcul va fi: $\kappa_2 \cdot P_{rc}$

3) temperatură medie - valoarea maximă a rezistenței de calcul va fi: $\kappa_3 \cdot P_{rc}$

în care κ_1 , κ_2 și κ_3 sunt coeficienții parțiali de siguranță.

Coefficienții parțiali de siguranță au următoarele valori maxime :

$$\kappa_1 = 0,7 ; \kappa_2 = 0,5 \text{ și } \kappa_3 = 0,25.$$

Pentru efectuarea ușoară a clculelor se fac următoarele notații :

- tracțiuni specifice normate : $P_1 = \kappa_1 \cdot P_{rc}$; $P_2 = \kappa_2 \cdot P_{rc}$ și $P_3 = \kappa_3 \cdot P_{rc}$

- temperaturi corespunzătoare ipotezelor de dimensionare :

$$T_1 = -5^\circ\text{C}; \quad T_2 = -30^\circ\text{C} \text{ și } T_3 = +15^\circ\text{C}$$

Deschiderile critice, necesare pentru stabilirea ipotezei de dimensionare, se determină cu relațiile

$$A_{cr}(1;2) = \sqrt{\frac{24 * [P_1 - P_2 + \alpha * E * (T_1 - T_2)] / E}{\gamma_{rc}^2 - \frac{\gamma_{1c}^2}{P_1^2} - \frac{\gamma_{1c}^2}{P_2^2}}}$$

$$A_{cr}(1;3) = \sqrt{\frac{24 * [P_1 - P_3 + \alpha * E * (T_1 - T_3)] / E}{\gamma_{rc}^2 - \frac{\gamma_{1c}^2}{P_1^2} - \frac{\gamma_{1c}^2}{P_3^2}}}$$

$$A_{cr}(2;3) = \sqrt{\frac{24 * [P_2 - P_3 + \alpha * E * (T_2 - T_3)] / E}{\gamma_{1c}^2 - \frac{\gamma_{1c}^2}{P_2^2} - \frac{\gamma_{1c}^2}{P_3^2}}}$$

unde P_1 ; P_2 ; P_3 sunt tracțiunile specifice normate în ipotezele considerate mai sus;

T_1 ; T_2 ; T_3 - temperaturile în ipotezele considerate mai sus;

E - modulul de elasticitate al conductorului nul purtător

α - coeficientul de dilatare termică

γ_{rc} ; γ_{1c} - încărcările specifice de calcul

Sarcina relativă și sarcina relativă critică :

$$q = \gamma_{\text{c}} / \gamma_{\text{lc}} \quad q_{\text{cr}} = \frac{P_1}{P_2} \sqrt{\frac{\alpha * E * A + B}{\alpha * E * (T_3 - T_2) + P_3 - P_2}}$$

$$\text{unde } A = T_3 - T_1 + P_2 * (T_1 - T_2) / P_3 \\ B = P_3 - P_1 + (P_2 / P_3)^2 * (P_1 - P_2)$$

Deschiderea medie se determină cu relația :

$$a_m = \sqrt{\frac{\sum a_i^3}{\sum a_i}} \quad (\text{m})$$

unde a_i sunt deschiderile din panoul considerat.

Prin compararea valorii sarcinii relative (q) cu sarcina relativă critică (q_{cr}) și a deschiderii medii (a) cu deschiderile critice (A_{cr}) în tabelul nr.3.1, se stabilește ipoteza de dimensionare pentru calculul tracțiunii și săgeților.

Tabelul 3.1.
Stabilirea ipotezei de dimensionare

Sarcina relativă	Deschiderea medie			Dimensionează	
				P_d	T_d
$q > q_{\text{cr}}$	$a_m < A_{\text{cr}}(1;2)$			P_2	-30
	$a_m > A_{\text{cr}}(1;2)$			P_1	-5
$q < q_{\text{cr}}$ sau $q_{\text{cr}} - \text{imag}$	$a_m < A_{\text{cr}}(1;2)$	$A_{\text{cr}}(2;3) - \text{imaginare}$		P_3	+15
		$A_{\text{cr}}(2;3) > 0$	$a_m < A_{\text{cr}}(2;3)$	P_2	-30
	$a_m > A_{\text{cr}}(1;2)$	$a_m > A_{\text{cr}}(2;3)$		P_3	+15
		$A_{\text{cr}}(1;3) - \text{imaginare}$		P_3	+15
		$A_{\text{cr}}(1;3) > 0$	$a_m < A_{\text{cr}}(1;3)$	P_3	+15
			$a_m > A_{\text{cr}}(1;3)$	P_1	-5

Tracțiunea specifică orizontală de calcul (P_o) determină din relația :

$$P_o^2 * (h^2 / a^2 + 2) - P_o * (2 * P_d - h * \gamma_c) + a^2 * \gamma_c^2 / 4 = 0$$

în care P_d este tracțiunea în ipoteza care dimensionează (daN/mm^2)

h - denivelarea între punctele de prindere a fasciculului (m)

a_m - deschiderea (m)

γ_c - încărcarea specifică de calcul în ipoteza care dimensionează (daN/m.mm^2)

Denivelarea h între punctele de prindere a fasciculului se ia în calcul în cazurile în care această este mai mare de 10 % din deschiderea panoului.

Pentru denivelarea $h = 0$, relația devine :

$$8 * P_o^2 - 8 * P_o * P_d + a^2 * \gamma_c^2 = 0$$

Ecuția de stare. Pentru determinarea tracțiunii la diferite temperaturi este necesară rezolvarea ecuației de stare a fasciculului. Pornind de la ipoteza de dimensiuni, caracterizată prin mărimele : tracțiune specifică orizontală de calcul (P_o) și temperatură (T_d) se calculează tracțiunea specifică (P) la temperatura (T) dorită.

$$P - \frac{a_m^2 * \gamma_n^2 * E}{24 * P^2} = P_o - \frac{a_m^2 * \gamma_c^2 * E}{24 * P_o^2} - \alpha * E * (T - T_d)$$

unde P este tracțiunea specifică orizontală normată care se calculează (daN/mm^2)

P_o - tracțiunea specifică orizontală de calcul (daN/mm^2)

a_m - deschiderea medie (m)

γ_n - încărcarea specifică normată în ipoteza la care se calculează (daN/m.mm^2)

γ_c - încărcarea specifică de calcul în ipoteza de dimensionare (daN/m.mm^2)

α - coeficientul de dilatare

E - modul de elasticitate

T - temperatura la care se calculează

T_d - temperatura în ipoteza de dimensionare

Prin rezolvarea ecuației de stare se determină tracțiunile specifice la diferite temperaturi

Săgeata maximă se determină în ipoteza temperatură maximă sau ipoteza încărcare cu chiciură :

$$f_{\max} = \frac{a^2 * \gamma_n}{8 * P} \quad (\text{m})$$

unde a este deschiderea reală (m)

γ_n - încărcarea normată la ipoteza considerată (daN/m.mm^2)

P - tracțiunea determinată corespunzătoare ipotezei considerate (daN/mm^2)

3.3. Recomandări privind calcule de dimensionare a fasciculilor :

Calculul tracțiunilor și săgeților se face după metoda la stări limite, pornind de la datele indicate în normativul PE 106, conform algoritmului de calcul prezentat mai sus.

Coefficienții parțiali de siguranță care se vor lua în calcul, nu vor depăși valorile normate impuse de normativul PE 106-95 : $\kappa_1 = 0,70$, $\kappa_2 = 0,50$ și $\kappa_3 = 0,18$.

Se recomandă valorile maxime de 0,67, 0,44 respectiv 0,18 pentru a se ține seama de faptul că conductorul nul-purtător este bimetalic (modulele de elasticitate și coeficienții de dilatare termină sunt diferenți pentru oțel sau aluminiu).

Eforturile care apar în conductor nu trebuie să fie mai mari decât eforturile admise de celelalte elemente (stâlpi, armături, clemă de tracțiune și.a.). În cazul în care eforturile în conductor sunt mai mari, se recurge la micșorarea tracțiunii în conductor, prin alegerea unor coeficienți parțiali de siguranță mai mici.

Tracțiunea în conductor se poate micșora până la valori care realizează condițiile de respectare gabaritelor și distanțelor de apropiere.

In cazul concret, al liniilor electrice cu conductoare izolate torsadate, se pornește de la condiția ca tracțiunea în conductorul nul-purtător să nu depășească valoarea rezistenței admisibile a clemei de întindere rețea și armăturilor corespunzătoare montării acesteia pe stâlp (750 daN - vezi capitolul 5). In consecință se vor alege valorile coeficienților parțiali de siguranță astfel încât tracțiunea în nulul purtător , în condiția de încarcicare maximă , să nu depășească această valoare.

Tipurile de fascicule cele mai uzuale, recomandate a fi utilizate pentru realizarea liniilor de joasă tensiune, sunt prezentate în tabelul 3.2. iar caracteristicile constructive ale conductoarelor componente, în tabelul 3.3. Se admite și folosirea altor tipuri de fascicule, din gama de fascicule omologate cu producătorii.

Tabelul 3.2.

FASCICULE DE CONDUCTOARE IZOLATE TORSADATE - fascicule cele mai utilizate -

Tipul fasciculului	Diametrul echivalent al fasciculului d_e (mm)	Greutatea fasciculului G_f (daN)
TYIR 50 OIAI + 3x35 Al + 16 Al	30,9	0,955
TYIR 50 OIAI + 3x50 Al + 16 Al	35,7	1,151
TYIR 50 OIAI + 3x70 Al + 2x16 Al	39,3	1,495
TYIR 50 OIAI + 3x95 Al + 2x16 Al	44,1	1,980

Diametrul echivalent al fasciculului este o mărime de calcul care se determină cu relația :

$$d_e = d_f * \left(1 + 2 * \sqrt{\frac{d_f^2}{1 - \frac{d_f^2 + d_n^2 + 2 d_f d_n}{d_f^2}}} \right) \quad (\text{mm})$$

unde d_f este diametrul exterior nominal a conductoarelor de fază (mm)

d_n - diametrul exterior nominal al conductorului nul purtător (mm)

Diametrul conductoarelor pentru iluminatul public este mic în comparație cu diametrul conductoarelor de fază sau de nul și nu participă la calculul diametrului echivalent al fasciculului, ele ocupând poziții în spațiile libere dintre celelalte conductoare.

Tabelul 3.3.

DIMENSIUNI CONSTRUCTIVE ALE CONDUCTOARELOR IZOLATE

Secțiunea nominală S (mm ²)	Numărul de fire și diametrul firului (nr. x mm)	Grosimea izolației δ (mm)	Diametrul exterior nominal d (mm)	Greutatea G (daN/m)
Conductoare din aluminiu, STAS 3033, izolate cu PVC				
16	7 x 1,7	1,8	8,7	0,09
25	7 x 2,1	1,8	9,9	0,104
35	7 x 2,5	1,8	11,1	0,157
50	19 x 1,8	2,0	13,0	0,222
70	19 x 2,1	2,0	14,5	0,307
95	19 x 2,5	2,0	16,5	0,468
Conductor din OIAl STAS 3000 izolat cu PVC				
50	1x3,3 OI + 6x3,2 Al	2,0	13,6	0,395

3.4. Exemplu de calcul

Calculul tractiunilor și săgeților într-un panou de 166m, cu 5 deschideri (28; 35; 33; 36 și 34 m pentru fasciculul de conductoare izolate torsadate TYIR 50+3x70+2x16 mm², în zona meteorologică B , amplasament II.

1. Tractiuni specifice de calcul :

- ipoteza încărcare maximă : $p_{-5+ch+v} = P_1 = 0,67 * P_{rc} = 18,878 \text{ daN/mm}^2$
- ipoteza temperatură minimă : $p_{min} = P_2 = 0,44 * P_{rc} = 12,397 \text{ daN/mm}^2$
- ipoteza temperatură medie : $p_{med} = P_3 = 0,18 * P_{rc} = 5,072 \text{ daN/mm}^2$

2. Calculul deschiderilor critice :

$$A_{cr}(1;2) = \sqrt{\frac{24/7503*[18,878-12,397+1,9*10^{-5}*7503*(-5-(-30))]}{\frac{0,085872^2}{18,878^2} - \frac{0,02921^2}{12,397^2}}} = 46,07 \text{ m}$$

$$A_{cr}(1;3) = \frac{\sqrt{24/7503 * [18,878 - 5,072 + 1,9 * 10^{-5} * 7503 * (-5 - (+15))]} / 0,085872^2 - 0,02921^2}{18,878^2 - 5,072^2} = \text{imag.}$$

$$A_{cr}(2;3) = \frac{\sqrt{24/7503 * [12,397 - 5,072 + 1,9 * 10^{-5} * 7503 * (-30 - (+15))]} / 0,02921^2 - 0,02911^2}{12,397^2 - 5,072^2} = \text{imag.}$$

3. Sarcina relativă: $q = \gamma_{IC} / \gamma_{IC} = 0,085872 / 0,02921 = 2,94$

$$4. \underline{\text{Sarcina relativă critică}}: q_{cr} = \frac{P_1}{P_2} \sqrt{\frac{\alpha * E * A + B}{\alpha * E * (T_3 - T_2) + P_3 - P_2}}$$

$$A = T_3 - T_1 + (P_2 / P_3) * (T_1 - T_2) = 15 - (-5) + (12,394 / 5,063) * [-5 - (-30)] = 81,14$$

$$B = P_3 - P_1 + (P_2 / P_3)^2 * (P_1 - P_2) = 5,063 - 18,88 + (12,394 / 5,063)^2 * (18,88 - 12,394) = 24,95$$

$$q_{cr} = \frac{18,878}{12,3947} \sqrt{\frac{1,9 * 10^{-5} * 7503 * 81,14 + 24,95}{1,9 * 10^{-5} * 7503 * (15 - (-30)) + 5,072 - 12,397}} = \text{imag.}$$

5. Stabilirea ipotezei de dimensionare.

Analiza acestor date, conform tabelului pentru stabilirea ipotezei de dimensionare, conduce la concluzia că dimensionează ipoteza temperatură medie:

$$P_d = 5,072 \text{ daN/mm}^2 \text{ și } T_d = +15^\circ C$$

6. Tracțiunea orizontală (denivelarea } h = 0)

$$8 * P_o^2 - 8 * P_o * P_d + a^2 * \gamma_{IC}^2 = 0$$

$$8 * P_o^2 - 8 * P_o * 5,072 + 33,5^2 * 0,02921^2 = 0$$

$$P_o = 5,048 \text{ daN/mm}^2$$

$$7. \underline{\text{Deschiderea medie}}: a_m = \sqrt{\frac{28^3 + 35^3 + 33^3 + 36^3 + 34^3}{28 + 35 + 33 + 36 + 34}} = 33,5 \text{ m}$$

8. Ecuatia de stare

$$P - \frac{a^2 * \gamma_n^2 * E}{24 * P^2} = P_o - \frac{a^2 * \gamma_d^2 * E}{24 * P_o^2} - \alpha * E * (T - T_d)$$

9. Tractiunea la temperatura de 15°C :

$$P(15^\circ) - \frac{33,5^2 * 26,554^2 * 10^{-6} * 7503}{24 * P(15^\circ)^2} = 5,048 - \frac{33,5^2 * 29,21^2 * 10^{-6} * 7503}{24 * 5,048^2}$$

$$P(15^\circ) = 4,67 \text{ daN/mm}^2$$

10. Sägeata fasciculului la 15° C , pentru deschiderea de 30 m.

$$f = \frac{a^2 * \gamma_{ln}}{8 * P(15^\circ)} = \frac{30^2 * 0,026554}{8 * 4,67} = 0,64 \text{ m}$$

11. Tractiunea la temperatura de 40°C :

$$P(40^\circ) - \frac{33,5^2 * 26,554^2 * 10^{-6} * 7503}{24 * P(40^\circ)^2} = 5,048 - \frac{33,5^2 * 29,21^2 * 10^{-6} * 7503}{24 * 5,048^2}$$

$$- 19 * 10^{-5} * 7503 * (40-15)$$

$$P(40^\circ) = 4,13 \text{ daN/mm}^2$$

12. Sägeata fasciculului la 40° C , pentru deschiderea de 30 m.

$$f = \frac{a^2 * \gamma_{ln}}{8 * P(40^\circ)} = \frac{30^2 * 0,026554}{8 * 4,13} = 0,72 \text{ m}$$

Dimensionarea din punct de vedere mecanic a liniilor electrice aeriene de joasă tensiune cu conductoare izolate torsadate (calculul tractiunilor și săgeților de montaj) se recomandă să se facă utilizând programul de calcul TORSBETO, program care lucrează sub WINDOWS - EXCEL

DIMTORS

23.01.98

LINIE ELECTRICĂ AERIANĂ de JOASĂ TENSIUNE
CONDUCTOARE IZOLATE TORSADATE

LEA 0,4kV

Ex

Fascicul	TYIR	50+3x70+2x16
Date meteo	Z. meteo	B
	Z. amplas	II

Încărcări

g1n	1,4950	g1c	1,6445	γ_1n	0,0266	γ_1c	0,0292
g2n	1,6328	g2c	2,9391	γ_2n	0,0290	γ_2c	0,0522
g3n	3,1278	g3c	4,5836	γ_3n	0,0556	γ_3c	0,0814
g4n	1,8157	g4c	2,3604	γ_4n	0,0322	γ_4c	0,0419
g5n	1,1826	g5c	1,5374	γ_5n	0,0210	γ_5c	0,0273
g6n	2,3519	g6c	2,8767	γ_6n	0,0418	γ_6c	0,0511
g7n	3,3439	g7c	4,8346	γ_7n	0,0594	γ_7c	0,0859

Deschideri
în panou
(m)

a1	a2	a3	a4	a5	a6			
28	35	33	36	34				

Deschiderea medie
Deschiderea de calc
Denivelarea

am (m)	33,54
ac (m)	40
h (m)	0

Tracțiuni de montaj

Temp (C)	-30	5	10	15	20	25	30	35	40	-5
p(daN/mm ²)	6,16	4,91	4,78	4,66	4,54	4,43	4,33	4,23	4,14	9,58
P (daN)	347	277	269	262	256	249	244	238	233	539

Săgeți de montaj

Temp (C)	-30	5	10	15	20	25	30	35	40	săgeata maximă
a (m)	0,05	0,07	0,07	0,07	0,07	0,07	0,08	0,08	0,08	0,08
10	0,05	0,07	0,07	0,07	0,07	0,07	0,08	0,08	0,08	0,08
20	0,22	0,27	0,28	0,29	0,29	0,30	0,31	0,31	0,32	0,32
30	0,48	0,61	0,62	0,64	0,66	0,67	0,69	0,71	0,72	0,72
40	0,86	1,08	1,11	1,14	1,17	1,20	1,23	1,26	1,28	1,28
50	1,35	1,69	1,74	1,78	1,83	1,87	1,92	1,96	2,01	2,01
60	1,94	2,43	2,50	2,57	2,63	2,70	2,76	2,83	2,89	2,89
70	2,64	3,31	3,40	3,49	3,58	3,67	3,76	3,85	3,93	3,93

Deschiderea dintre stâlpi

Stâlp	SCP 10001	Desc. max (a)	Unghiul liniei 2α	Termin
		m	nexarcenti	
Z. meteo	B	71	180	NU
Z. amplas	II		200	

4. STÂLPI

4.1. Introducere

Pentru realizarea liniilor electrice aeriene de joasă tensiune cu conductoare izolate torsadate se folosesc stâlpi din beton, stâlpi din lemn sau stâlpi din metal. Se recomandă utilizarea stâlpilor din beton centrifugat. Stâlpii din lemn sau metal se utilizează în baza unor justificări tehnico-economice.

După funcția pe care o îndeplinește în linie stâlpii pot fi :

- stâlpi de susținere ;
- stâlpi de întindere ;
- stâlpi terminali.

Stâlpii de susținere și de întindere pot fi în aliniament sau în colț.

Determinarea domeniilor de aplicare a stâlpilor din beton (deschiderea dintre stâlpi) corespunzător funcției din linie și eforturilor la care sunt supuși, se face pe bază de calcul conform normativului PE 106. Eforturile și schemele de încărcare a stâlpilor sunt prezentate în figura 4.1.

4.2. Calculul deschiderii dintre stâlpi

4.2.1. Deschiderea la încărcări verticale - a_g - (greutate) este semisuma deschiderilor virtuale adiacente unui stâlp, astfel încât efortul admisibil în stâlp să nu fie depășit

Se determină în ipoteza încărcări cu chiciură :

$$a_g = F_a / g_{3n} \quad (m)$$

unde F_a este forța maximă verticală pentru care au fost dimensionate accesoriile (daN)

g_{3n} - încărcarea normată (daN/m)

4.2.2. Deschiderea la vânt - a_v - (deschidera la încărcări produse de vânt) este semisuma deschiderilor reale adiacente unui stâlp. Deschiderea la vânt se determină astfel încât, la încărcările care acționează pe stâlp, efortul admisibil în stâlp să nu fie depășit.

Se calculează deschiderea în două ipoteze, vânt maxim și vânt simultan cu chiciură, reținându-se valoarea cea mai mică.

a) ipoteza vânt maxim :

$$a_v = \frac{M_{cap} - V * H_g}{g_{1c} * B + g_{4c} * H_f}$$

b) ipoteza vânt simultan cu chiciură :

$$a_v = \frac{M_{cap} - V * H_g}{g_{3c} * B + g_{5c} * H_f}$$

unde M_{cap} este momentul capabil de calcul al stâlpului (daNm)

V - încărcarea orizontală datorată vântului pe stâlp (daN)

H_g - înălțimea deasupra solului a centrului de greutate a stâlpului; (m)

H_f - înălțimea deasupra solului a punctului de prindere a fasciculului pe stâlp (m)

g_{1c} , g_{3c} , g_{4c} , g_{5c} - încărcări unitare de calcul (daN/m);

B - distanța pe orizontală de la axul stâlpului la punctul de prindere a fasciculului pe stâlp (m);

Încărcarea orizontală dată de vânt pe stâlp - V -

a) ipoteza vânt maxim :

$$V = 1,3 * C_{ts} * \beta_v * p_{v\max} * A_{st} \text{ (daN)}$$

b) ipoteza vânt simultan cu chiciură

$$V = 1,3 * C_{ts} * \beta_v * p_{v+ch} * A_{st} * k_{st} \text{ (daN)}$$

în care C_{ts} este coeficientul aerodinamic al stâlpului

$C_{ts} = 0,7$ pentru stâlpi cu secțiune circulară ;

$C_{ts} = 2,0$ pentru stâlpi cu suprafete plane ;

β_v - coeficientul de corecție a vitezei vântului

$p_{v\max}$ - presiunea dinamică dată de vânt maxim (daN/m²)

p_{v+ch} - presiunea dinamică dată de vânt simultan cu chiciură (daN/m²)

A_{st} - suprafața stâlpului expusă vântului (m²)

k_{st} - coeficient de majorare a suprafetei stâlpului datorită depunerilor de chiciură
(numai pentru stâlpii cu alveole $k_{st} = 1,5$)

Inăltimea centrului de greutate a stâlpului de la sol

$$H_g = \frac{H_{st} - H_{inc}}{3} * \frac{d_{inc} + 2d}{d_{inc} + d} \text{ (m)}$$

unde H_{st} este înăltimea stâlpului (m)

H_{inc} - adâncimea de încastrare (m)

d_{inc} - diametrul stâlpului în porțiunea de încastrare (cm)

d - diametrul la vârf a stâlpului (cm)

Suprafața stâlpului expusă vântului

$$A_{st} = (H_{st} - H_{inc}) \frac{d + d_{inc}}{2} \text{ (m }^2 \text{)}$$

unde H_{st} este înăltimea stâlpului (m)

H_{inc} - adâncimea de încastrare (m)

d_{inc} - diametrul stâlpului în porțiunea de încastrare (m)

d - diametrul la vârf a stâlpului (m)

4.2.3. Deschiderea nominală - a_n - este distanța la care, la săgeată maximă, gabaritul la sol este minim.

$$a_n = \sqrt{\frac{g * P * f_{\max}}{\gamma_n}} \text{ (m)}$$

unde P este tracțiunea aferentă săgeții maxime (daN/mm²)

γ_n - încărcarea specifică normată a fasciculului corespunzătoare ipotezei la care apare săgeata maximă

f_{\max} - săgeata maximă impusă de gabaritul la sol $\Rightarrow f_{\max} = H_f - H_{gab}$ (m)

H_f - înăltimea deasupra solului a punctului de prindere a fasciculului pe stâlp (m)

H_{gab} - gabaritul la sol al fasciculului la săgeată maximă (m)

4.2.4. Deschiderea dintre stâlpi este valoarea minimă dintre deschiderea la încărcări verticale (a_g), deschiderea la încărcări date de vânt (a_v) și deschiderea nominală (a_n).
 $a = \min (a_g, a_v, a_n)$ (m)

4.3. Stâlpi terminali

Stâlpul terminal se dimensionează astfel încât momentul capabil al stâlpului să nu fie depășit atât pe direcția principală cât și pe direcția secundară.

- a) direcția principală : $M_{cap} \geq T * H_f + g_{sc} * B * a / 2$ (daNm)
- b) direcția secundară : $M_{cap} \geq g_{4c} * H_f * a / 2 + V * H_g$ (daNm)

unde T este tracțiunea maximă care apare în fascicul (daN)
 V - încărcarea orizontală dată de vânt pe stâlp (daN/m)
 H_f - înălțimea de sol la punctul de prindere a fasciculului pe stâlp (m)
 H_g - înălțimea deasupra solului a centrului de greutate a stâlpului; (m)
 a - deschiderea reală (m)
 g_{sc} și g_{4c} - încărcări unitară de calcul (daN/m)
 B - distanța pe orizontală de la axul stâlpului la punctul de prindere a fasciculului pe stâlp (m)

In vederea utilizării unui anumit tip de stâlp ca stâlp terminal se poate alege valoarea tracțiunii T astfel încât momentul capabil al stâlpului să nu fie depășit. După determinarea tracțiunii se aleg coeficienții parțiali de siguranță (vezi capitolul 4) pentru rezolvarea ecuației de stare astfel încât tracțiunile maxime, în ipoteza de încărcări maxime, să nu depășească valoarea impusă a tracțiunii T .

4.4. Stâlpi de susținere în aliniament

Stâlpii de susținere în aliniament se aleg astfel încât deschiderea reală (a) să fie mai mică, cel mult egală, cu valoarea minimă dintre deschiderea la sarcini verticale (a_g), deschiderea la vânt (a_v) și deschiderea nominală (a_n).

4.5. Stâlpi de colț

Domeniul de utilizare a stâlpilor de susținere sau întindere în colț se determină prin calcularea unghiului maxim al liniei, astfel încât eforturile care apar în stâlp, să nu producă momente mai mari decât momentul capabil.

Unghiul de colț (2α) al liniei se determină din relația :

a) ipoteza vânt maxim :

$$\alpha = \arccos \left(\frac{M_{cap} - V * H_g - a * g_{1c} * B - a * g_{4c} * H_f}{2 * T * H_f} \right)$$

b) ipoteza vânt simultan cu chiciură :

$$\alpha = \arccos \left(\frac{M_{cap} - V * H_g - a * g_{3c} * B - a * g_{5c} * H_f}{2 * T * H_f} \right)$$

unde a este deschiderea dintre stâlpi (m)
 T - tracțiunea orizontală (daN)
 Restul notațiilor sunt cunoscute de mai sus.

4.6. Stâlpi de întindere

Deschiderea la încărcări verticale, deschiderea la vânt și deschiderea nominală pentru stâlpii de întindere în aliniament se determină ca la stâlpii de susținere.
 În plus, stâlpul de întindere se verifică și ca stâlp terminal.

4.7. Stâlpi ancorati

In cazurile în care încărcările depășesc momentul capabil al stâlpului, se admite utilizarea stâlpilor ancorati.

Dimensionarea ancorei și determinarea domeniilor de folosire a stâlpului în acest caz, se face prin calcul.

Forța în ancoră (F_a), pentru care se dimensionează ancora, se determină cu relația :

$$F_a = R / \sin \beta \quad (\text{daN})$$

în care R este rezultanta tuturor forțelor care solicită stâlpul

β - unghiul ancorei

În cazul liniilor aeriene de joasă tensiune cu conductoare izolate torsadate se recomandă utilizarea ancorei de 2500 daN cu un unghi al ancorei de 30°.

4.8. Fundatiiile stâlpilor

Stâlpii liniilor electrice aeriene de joasă tensiune se montează în fundații burate, turmate sau prefabricate.

Fundații burate. Fundațiile burate se realizează cu straturi alternative de pământ nevegetal și piatră, de maxim 20 cm grosime, bine compactate. Gropile de fundație au o formă cilindrică, cu diametrul de 80 cm și se execută manual sau cu foreza.

Fundații turmate. Fundațiile turmate din beton monolit se realizează ca un bloc prismatic dreptunghiular, din beton marca Bc 7,5, cu un gol de formă prismatică sau cilindrică (pahar) pentru montarea stâlpului. Incastrarea stâlpului în fundație, după poziționarea corectă, se face cu beton de monolitizare marca Bc 15, turnat între stâlp și pereții paharului .

Fundații prefabricate. Fundațiile prefabricate tip coloană se realizează cu coloane prefabricate din beton armat centrifugat, cu diametrul interior de 56 cm și lungimea de 1,95 m, plantate în teren prin vibropresare sau în gropi executate cu foreza, stâlp și coloană,

Tipul constructiv de fundație se alege de proiectant, funcție de încărcările care acționează asupra stâlpului și de natura terenului.

Fundațiile stâlpilor se dimensionează astfel încât să reziste solicitărilor la care sunt supuse în exploatare, funcție de natura terenului. Terenurile sunt împărțite, funcție de caracteristici fizico-mecanice în patru categorii, conform STAS 3300/1 și 3300/2 .

4.9. Recomandări privind utilizarea stâlpilor

- Pentru liniile electrice aeriene de joasă tensiune cu conductoare izolate torsadate se utilizează stâlpi din beton centrifugat. Se admite și utilizarea stâlpilor din beton vibrat. În situații speciale, pe baza unor justificări tehnico-economice, se admite și utilizarea stâlpilor din lemn sau metal.
- Tipurile de stâlpi din beton recomandate la realizarea liniilor cu conductoare torsadate, precum și caracteristicile lor tehnice, sunt prezentate în tabelul 4.1 și în figurile 4.2. și 4.3.
- Forma și dimensiunile fundațiilor recomandate a fi utilizate la stâlpilor liniilor electrice aeriene de joasă tensiune cu conductoare izolate torsadate sunt prezentate în indrumarul pentru proiectarea fundațiilor.

4.10. Exemplu de calcul

Deschiderile corespunzătoare stâlpului SCP 10001 montat în zona meteorologică B amplasament II, pentru susținerea fasciculului 50+3x70+2x16

$$1. \text{ Deschiderea la încărcări verticale} : a_g = F_a / g_{sa} = 300 / 4,58 = 95,8 \text{ m}$$

$$2. \text{ Deschiderea la vânt} : \text{a) ipoteza vânt maxim:}$$

$$a_v = \frac{M_{cap} - V * H_g}{g_{lc} * B + g_{4c} * H_f}$$

$$a_v = \frac{1,3 * 1271 - 59,6 * 3,81 - 95,8 * 1,64 * 0,22}{2,36 * 8} = 72,3 \text{ m}$$

$$V = 1,3 * 0,7 * 1,0 * 42 * 1,56 = 59,6 \text{ daN} \quad A_{st} = (10,0 - 1,8) * (0,15 + 0,23) / 2 = 1,56 \text{ m}^2$$

$$\text{b) ipoteza vânt simultan cu chiciură:}$$

$$a_v = \frac{M_{cap} - V * H_g}{g_{3c} * B + g_{5c} * H_f}$$

$$a_v = \frac{1,3 * 1271 - 21,3 * 3,81 - 95,8 * 4,58 * 0,22}{1,54 * 8} = 120,1 \text{ m}$$

$$V = 1,3 * 0,7 * 1,0 * 15 * 1,56 * 1,0 = 21,3 \text{ daN}$$

Se reține valoarea cea mai mică: $a_v = 72,3 \text{ m}$

$$3. \text{ Deschiderea nominală} \quad a_n = \sqrt{\frac{8 * p * f}{\gamma_n}}$$

$$a_n = \sqrt{\frac{8 * 4,14 * (8-4)}{0,026554}} = 70,6 \text{ m}$$

$$4. \text{ Deschiderea} \quad a = \min(a_g; a_v; a_n) = 71 \text{ m}$$

5. Unghiul de colț care este suportat de stâlpul SC 10001

$$\alpha = \arccos \left(\frac{M_{cap} - V * H_g - a * g_{lc} * B - a * g_{4c} * H_f}{2 * T * H_f} \right)$$

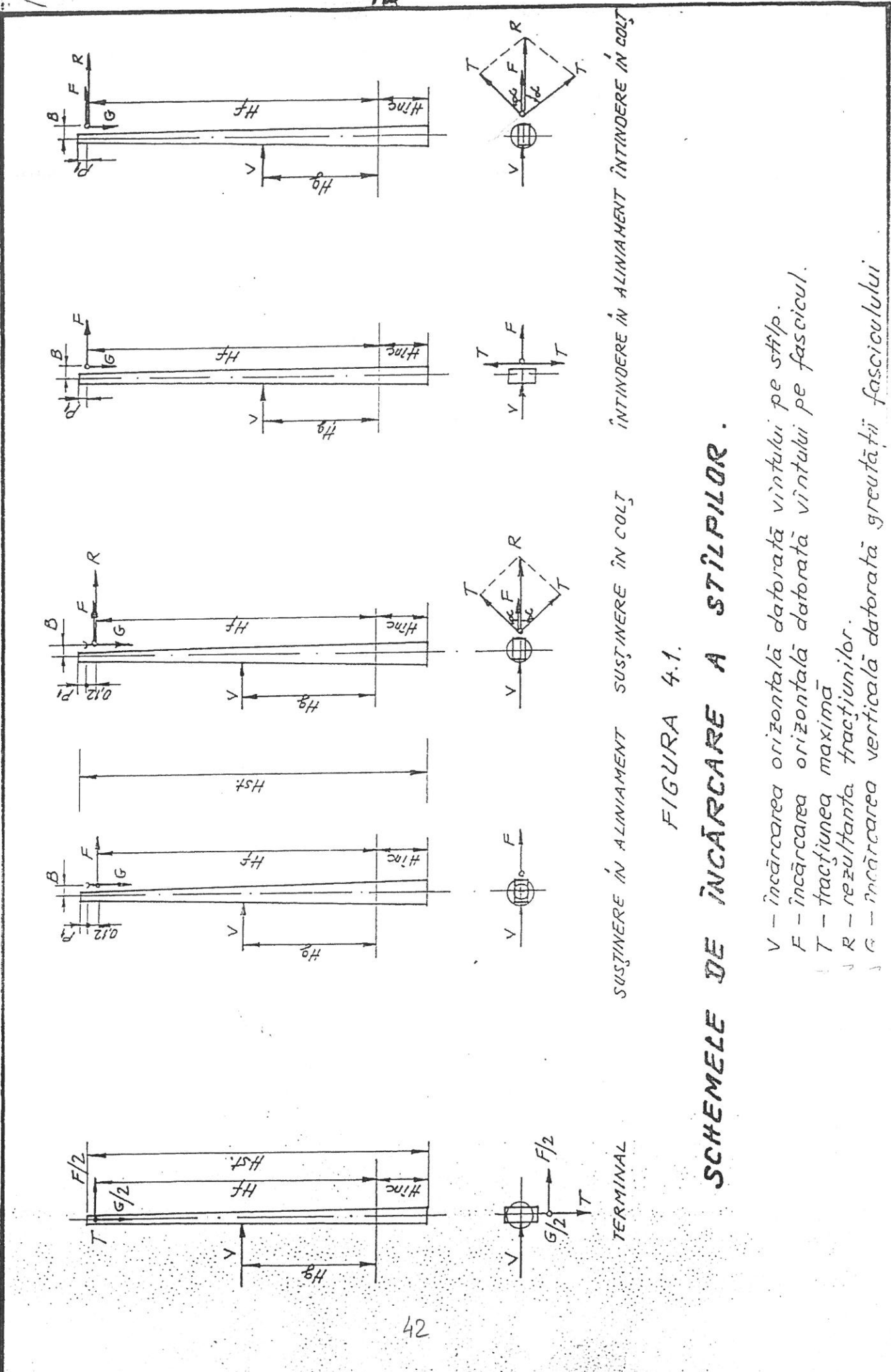
$$\alpha = \arccos \left(\frac{1652 - 59,6 * 3,81 - 71 * 1,64 * 0,22 - 71 * 2,36 * 8}{2 * 539 * 8} \right) = 90^\circ$$

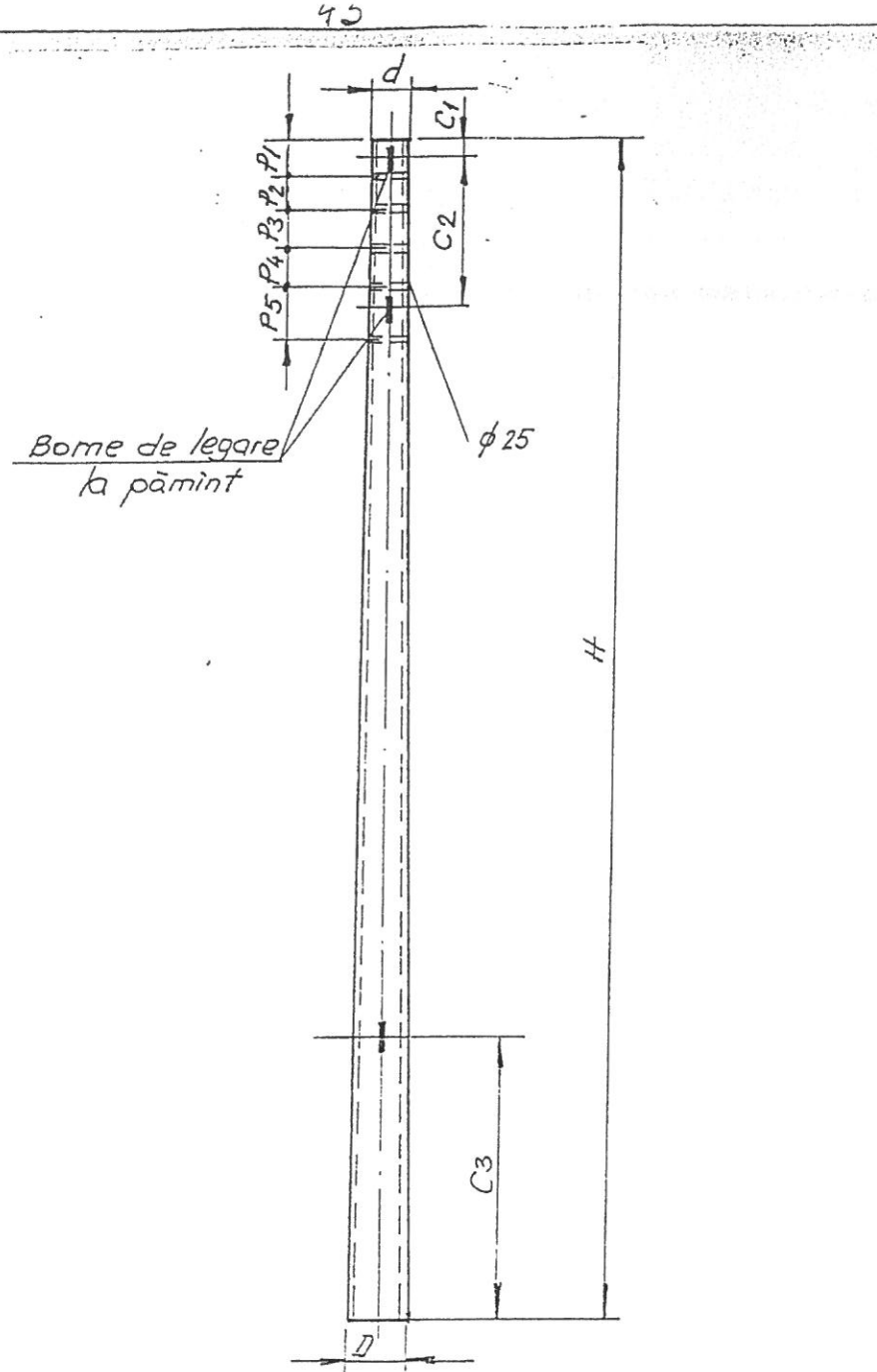
Unghiul minim al liniei $2\alpha = 2 * 90 = 180^\circ \Rightarrow 200$ grade centi

Tabelul 4.1.

**CARACTERISTICILE STÂLPILOR
RECOMANDAȚI PENTRU LINIILE AERIENE DE JOASĂ TENSIUNE
CU CONDUCTOARE IZOLATE TORSADATE**

Tip stâlp	Inălțime	Adâncimea de încastrare	Dimensiuni la vârf	Dimens. la bază	Greutate	Moment exploat. normat
	H_{st} m	H_{inc} m	d cm	D cm	G_{st} daN	M_{cap} daN.m
SI 9	9	1,2	12	21	430	1162
SCP 15006-92	9,2	1,4	26,8	36	1130	4105
SCP 10001	10	1,5	15	25	630	1257
SCP 10002	10	1,5	24	34	1075	3675
SC 10005	10	1,5	26	41	1535	8844
SE 4T	10	1,5	14,23(15,77)/ 15	31,3(33,7) / 23,5	780	1844/ 948
SE 10T	10	1,5	23,75(26,25)/ 25	51,9(55,1) / 32	2040	6988/ 2719
SE 11T	10	1,5	28,52(31,48)/ 30	63,3(67,7) / 44,5	2650	13638/ 5547
SE 5T	11,2	1,6	18,1(19,9)/ 19	43,7(46,3) / 27,5	1292	4189/ 1285
SC 15014-105	10,5	1,7	34,25	50	1930	13077

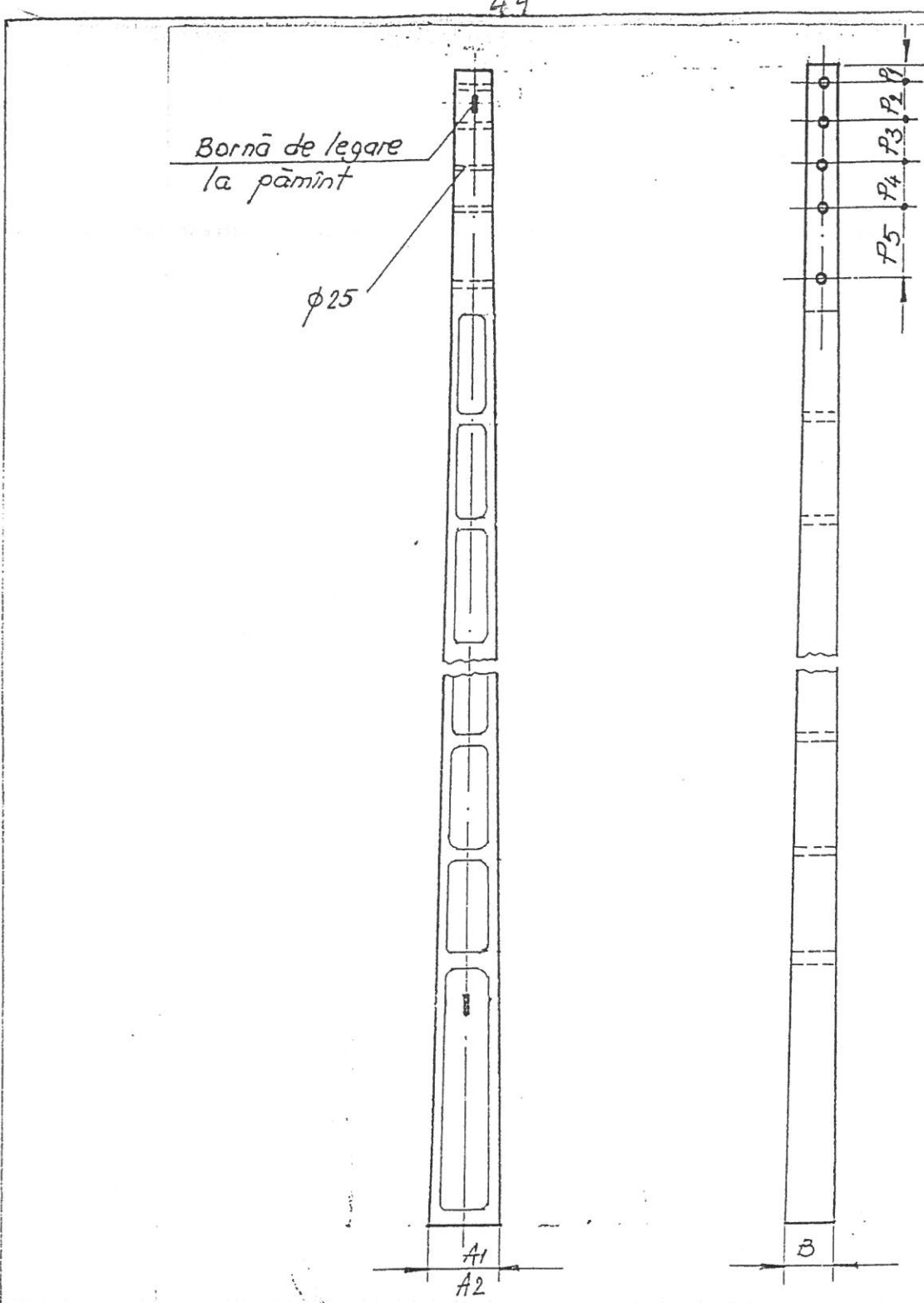




STALP	DIAMETRU mm	DIMENSIUNI							DISTANȚE GEOMETRICE			BORNE DE LEGIRE LA PĂMÂNT		
		vîrf	boză	P_1	P_2	P_3	P_4	P_5	C_1	C_2	C_3			
m	cm	cm	cm	cm	cm	cm	cm	cm	cm	cm	cm			
SI 9	9	12	21	10	25	25	-	-	10	145	180			
SCP 15006-92	9,2	26,8	36	20	25	25	-	-	35	130	270			
SCP 10001	10	15	25	10	25	25	25	50	10	145	240			
SCP 10002	10	24	34	10	25	25	25	50	10	145	190			
SC 10005	10	26	41	10	25	25	25	50	10	145	190			

Fig. 42

STALPI DIN BETON CENTRIFUGAT



STÂLP	ÎNĂLTIME m	DIMENSIUNI		DISTANȚE GÂURI					BORNE DE LEGARE LA FIM.		
		VÂRF	BAZĂ	P ₁ cm	P ₂ cm	P ₃ cm	P ₄ cm	P ₅ cm	C ₁ cm	C ₂ cm	
SE 4T	10	14,23 (15,77) 15	31,3 (33,7) 23,5	10	25	25	25	50	4,5	250	
SE 10T	10	23,75 (26,25) 25	51,9 (55,1) 32	7	30	30	—	—	5	210	
SE 11T	10	28,52 (31,48) 30	63,3 (67,7) 44,5	14	30	30	—	—	—	—	
SE 5T	11,2	18,1 (19,9) 19	43,7 (46,3) 27,5	14	30	25	25	50	5	210	
				7	30	25	25	50	—	—	
				10	25	—	—	—	40 (75)	240	

Fig. 4.3
STÂLPI DIN BETON VIBRAT

5. REALIZAREA LINIILOR ELECTRICE AERIENE CU CONDUCTOARE IZOLATE TORSADATE

5.1. Solutii de realizare a liniilor electrice aeriene de joasă tensiune cu conductoare izolate torsadate

Liniile electrice aeriene de joasă tensiune cu conductoare izolate torsadate se realizează în două soluții, funcție de modul de fixare a fasciculului :

- a) linie cu fascicul întins pe stâlpi
- b) linie cu fascicul pozat pe fațadele clădirilor

Alegerea soluției se face de către proiectant, funcție de condițiile concrete din zona unde urmează să se realizeze linia. Pentru aceasta este necesar ca proiectantul să facă o documentare corespunzătoare pe teren, cu care ocazie se întocmesc schițe în care se indică amplasamentul clădirilor din zonă și tipurile constructive.

La alegerea modului de realizare a rețelei cu conductoare torsadate, proiectantul trebuie să țină seama de :

- amplasamentul clădirilor din zonă;
- tipul și materialele din care sunt construite;
- estetica mediului înconjurător;

5.1.1. Linii electrice aeriene de joasă tensiune cu fascicul întins pe stâlpi.

Acum mod de realizare se recomandă a fi aplicat în zonele în care clădirile sunt rare și nealiniate, sau în zonele în care clădirile sunt construite din materiale care nu au rezistență mecanică necesară pentru preluarea eforturilor mecanice datorate montării fasciculului.

Fasciculul se montează întins între stâlpii de întindere care delimită panoul și este susținut de stâlpi de susținere. Efortul de tracțiune apare în conductorul *nul purtător*, conductor fixat la capetele panoului prin intermediul clemelor de întindere rețea.

Conductoarele de fază și conductorul (conductoarele) pentru iluminat public sunt răscutite (torsadate) în jurul conductorului nul purtător.

Montarea fasciculului de conductoare pe stâlpi se face utilizând legături de susținere (în aliniament sau colț), legături de întindere (în aliniament sau colț), legături de derivărie și legături terminale.

Legătură de susținere - Fasciculul este susținut în armătură fixată pe stâlp prin intermediul unei *tije de susținere*. În cazul stâlpilor care nu au găuri, în locul tijei se montează o *brătară de susținere*. Legăturile de susținere în colț se realizează cu aceleași armături.

Legătură de întindere - În punctele de întindere ale fasciculului (capetele panourilor) se fixează nulul purtător în *clemă de întindere rețea*, iar aceasta se fixează de *tija de întindere* pe stâlp prin intermediul unui *întinzător* sau unui *prelungitor*. La un capăt al panoului se folosește *întinzător*, iar la celălalt se folosește *prelungitor*. În cazul stâlpilor fără găuri, în locul tijei de întindere se utilizează *brătară de întindere* corespunzătoare tipului de stâlp.

Legătura de întindere poate fi în aliniament sau în colț, ambele se realizează cu aceleași elemente.

Legătură de derivărie - In punctele unde este necesar să se realizeze derivării din linie, fasciculul se fixează și se întinde pe stâlpi ca și la legătura de întindere. Derivațiile (legăturile electrice ale conductoarelor) se fac cu *cleme de derivărie rețea* - cleme cu dinți , care se montează fără desizolarea conductoarelor . Se admite, pentru realizarea derivărilor conductoarelor și utilizarea *cutiei de derivărie rețea*.

Legătură terminală - La capetele liniei sau derivărilor se realizează legătură terminală, cu aceleași componente ca și legătura de întindere. La legătura terminală , obligatoriu , conductorul de nul se leagă la borna de legare la pământ a stâlpului, iar capetele conductoarelor de fază se izolează și se fixează pe stâlp cu *brătară de fixare pe stâlp*.

Innădirea conductoarelor fasciculului - Innădirea conductoarelor fasciculului se realizează cu ajutorul *mufelor de înădire* prin presare. *Mufa de înădire pentru nulul purtător* (care este realizat din oțel-aluminiu) este dimensiunată să reziste la 95 % din rezistență de rupere a conductorului. *Mufele de înădire a fazelor* nu sunt supuse la eforturi mecanice, ele având numai rol electric.

Pentru realizarea innădirii , capetele celor două conductoare se desizolează, se introduc în mufă și se strânge mufa cu ajutorul presei de mufat. Refacerea izolației conductorului se face cu un *manșon din material plastic*.

Se admite, numai pentru realizarea innădirii conductoarelor de fază și de iluminat, utilizarea clemelor cu dinți : *clemă de derivărie rețea* și *clemă de derivărie iluminat public*.

La realizarea innădirii conductoarelor fasciculului se va avea grijă ca innădirile să de realizeze cu un decalaj între ele, evitând contactul între innădiri.

5.1.2. Linii electrice aeriene de joasă tensiune cu fascicul pozat pe clădiri.

Pozarea fasciculului pe fațadele clădirilor este modul cel mai simplu și eficient de realizare a liniilor cu conductoare torsadate. se aplică în toate cazurile în care există clădiri mari , cu fațade la stradă și aliniate.

Modul de realizare pozat al fasciculului, care prezintă multe avantaje din punct de vedere economic și estetic, permite rezolvarea dificultăților la trecerea peste diferite elemente constructive ale clădirilor, utilizând un număr redus de accesoriu , fără să deterioreze aspectul arhitectural .

Fascicului este fixat și susținut liber pe fațadă , prin intermediul cuielor de fixare pe zid, în fascicul neexistând eforturi de tracțiune. Distanța recomandată între cuiile de fixare este de cca. 1 metru, fascicul este susținut de brațara de fixare a cuiului la 3 - 5 cm de perete . La schimbarea nivelului de pozare a fasciculului sau la colțurile clădirii, se recomandă ca distanța dintre cuiile de fixare să se micșoreze până la limita necesară, astfel încât fasciculul să nu atingă peretele clădirii.

Derivațiile din linia electrică pozată se realizează cu cleme de derivărie rețea (cleme cu dinți) sau cutie de derivărie.

5.2. Detalii de realizare a liniilor electrice aeriene de joasă tensiune cu conductoare izolate torsadate

5.2.1. Derivație cu conductoare izolate torsadate din linie cu conductoare neizolate:

Pe stâlpul liniei, în punctul de derivație, se montează o legătură terminală, realizată cu clemă de întindere rețea, întinzător (sau prelungitor) și tijă de întindere. Conductoarele fasciculului se leagă la

fazele respective ale liniei cu conductoare neizolate prin intermediul unor cleme universale. Fasciculul se rigidizează pe stâlp cu brătară de fixare pe stâlp.

5.2.2. Trecerea din linie în cablu în linie cu conductoare izolate torsadate :

Varianta A: Cutie de trecere montată la baza stâlpului echivalentă cu suporturi de siguranțe fuzibile. Capetele conductoarelor cablului și conductoarelor izolate torsadate se racordează la suporturi siguranțelor. Fasciculul de conductoare torsadate se fixează pe stâlp cu o legătură terminală și se protejează, între cutia de trecere și legătura terminală, în țeavă din material plastic.

Varianta B: Fasciculul de conductoare izolate torsadate se montează pe stâlp cu o legătură terminală, iar cablul se fixează pe stâlp, protejat în țeavă din material plastic, până la peretea superioară. Legăturile dintre conductoarele cablului și conductoarele fasciculului se realizează cu cleme de derivărie cu dinți.

5.2.3. Plecare din post de transformare aerian:

Pe stâlpul postului se montează o brătară de întindere și se realizează legătura terminală. Conductoarele de fază se racordează la suporturile siguranțelor fuzibile din cutia de distribuție a postului, iar conductorul de nul la bara de nul din cutia de distribuție.

5.2.4. Plecare din post de transformare în cabină zidită:

De regulă, din posturile de transformare în cabină zidită, se realizează subteran. Racordarea liniei torsadate la aceste posturi se face ca din rețea în cablu.

5.2.5. Gabaritul la sol - distanța dintre punctul cel mai de jos al fasciculului de conductoare la săgeată maximă și nivelul solului - este de minim 4 metri. În cazul porțiunilor speciale ale liniei (porțiunile în care linia traversează sau se află în apropierea altor obiective) se vor respecta distanțele indicate în capitolul 10.

5.2.6. Legarea la pământ .

În conformitate cu STAS 12.604/4 și STAS 12.604/5 conductorul de nul se leagă la pământ în următoarele puncte :

- în apropierea postului de transformare (la primul stâlp al liniei) ;
- la capetele liniei, la capetele derivărilor și în alte locuri astfel alese pe traseu, astfel încât distanța dintre două prize de pământ artificiale, pe ori ce traseu (linie sau ramificație), să nu fie mai mare de 1000 m .

La stâlpii din punctele specificate mai sus, se vor monta prize de pământ artificiale. Valoarea rezistenței de dispersie a acestor prize artificiale se determină astfel încât rezistența generală a tuturor prizelor la care este legat nulul rețelei să fie de cel mult 4Ω . În vederea ușurării condițiilor de realizare, se recomandă ca la toți stâlpii liniei, inclusiv la cei de susținere, conductorul de nul să se lege la pământ, utilizând în acest fel și prizele naturale a stâlpilor.

Conductorul de nul se leagă la pământ prin intermediul unui conductor din aluminiu, cu secțiunea de minim 50 mm^2 . Acest conductor se racordează la un capăt la nul, prin intermediul unei cleme de derivărie cu dinți tip CCD 140, iar la celălalt capăt la borna superioară de legare la pământ : stâlpului, prin intermediul unui papuc corespunzător.

5.2.7. Recomandări privind alegerea traseului liniilor electrice aeriene de joasă tensiune cu conductoare izolate torsadate :

- Fasciculul de conductoare se montează pe stâlp, de regulă, pe partea dinspre stradă;
- se recomandă ca linia să fie amplasată pe acea parte a străzii unde se găsesc cei mai mulți consumatori;
- Se recomandă ca distanța dintre stâlpi (deschiderea dintre stâlpi) să fie de în jur de 35 - 40 metri, în cazul liniilor construite în zona de amplasament II și III, și de 50 - 60 metri, în cazul liniilor construite în zona de amplasament I.
- Intodeauna când există clădiri aliniate la stradă se va proiecta linia cu fascicul pozat. La alegerea traseului liniei cu conductoare torsadate pozate pe clădiri se va avea în vedere înălțimea clădirilor, materialele din care sunt construite și aliniamentul lor la stradă;
- În cazul străzilor cu lățime mare - peste 15 m - se recomandă proiectarea a câte o linie pe fiecare parte a străzii, pentru a evita numeroasele traversări cu branșamente;
- Dacă situația din teren permite, linia cu conductoare torsadate se proiectează combinat, întinsă pe stâlpi și pozată pe clădiri;

5.3. Accesorii pentru realizarea liniilor electrice aeriene de joasă tensiune cu conductoare izolate torsadate

Montarea fasciculelor de conductoare pe stâlpi sau pe fațadele clădirilor se realizează cu ajutorul unor accesorii specializate.

Accesoriile care se vor prevedea în proiecte, trebuie să corespundă condițiilor tehnice impuse de RENEL - GTDEE și să fie omologate.

Pentru proiectarea și realizarea liniilor electrice aeriene de joasă tensiune cu conductoare izolate torsadate se utilizează, de regulă, următoarele accesorii :

1. Armătură de susținere - simbol	AS 300
2. Tijă de susținere	TS 300
3. Brătară de susținere	BSV ; BSC
4. Tijă de întindere	TT 750
5. Brătară de întindere	BTC ; BTVA ; BTVB
6. Intinzător	IR 750
7. Prelungitor	P 750
8. Clemă de întindere rețea	CRT
9. Brătară pentru fascicul	BS
10. Brătară de fixare pe stâlp	B
11. Clemă derivărie rețea (clemă cu dinți)	CDD 140
12. Clemă derivărie iluminat public	CDD 15 IL
13. Cutie de derivărie	CD
14. Cui de fixare în zid	CZ 5
15. Mufă de înădire	Cn , Ci

Forma, dimensiunile și materialele accesoriorilor necesare realizării liniilor electrice aeriene de joasă tensiune cu conductoare izolate torsadate sunt prezentate în anexa 5.2.

5.4. Conditii tehnice pentru accesoriile necesare realizării liniilor cu conductoare torsadate

- După funcția lor în linie accesoriile se clasifică în :
 - accesoriu cu rol mecanic, denumite armături ;
 - accesoriu cu rol electric, denumite cleme sau conectori;
 - Accesoriile pentru liniile electrice cu conductoare izolate torsadate trebuie să reziste în condiții normale de mediu, zone de poluare I, II și III, conform normativului PE 109, în aer liber, sub acțiunea directă a razelor solare, intemperii, variații de temperatură ambientă între -30 °C și +40 °C, umiditatea relativă a aerului -100%.
 - Forma, dimensiunile și materialele din care sunt realizate accesoriile se atabilesc în documentațiile tehnice ale produselor, astfel încât să asigure funcționalitatea mecanică și/sau electrică în condiții de fiabilitate maximă.
 - Accesoriile trebuie concepute astfel încât să reziste la solicitările mecanice, electrice și termice din exploatare, precum și la acțiunea agenților fizico - chimici din atmosferă.
 - Execuția accesoriilor trebuie să fie astfel încât să nu prezinte muchii, colțuri, asperitați, proeminențe sau cavități în care s-ar putea acumula apă. Toleranțele de execuție ale părților componente trebuie să asigure interchimbabilitatea acestora.
- Părțile componente ale accesoriilor trebuie să nu prezinte în structura lor tensiuni sau defecte interne, inclusiv de materiale stăine care să influențeze defavorabil asupra proprietăților lor mecanice și electrice.
- Accesoriile pentru rețelele aeriene de joasă tensiune cu conductoare izolate torsadate se marchează prin poansonare, scriere cu vopsea sau tuș special, imprimare în relief, în locurile indicate în proiectele de execuție. Marcarea trebuie să cuprindă : simbolul produsului, marca producătorului și anul de fabricație. Marcajul trebuie să fie vizibil și să se mențină în timp.
 - Elementele componente ale accesoriilor pentru rețelele aeriene de joasă tensiune cu conductoare izolate, realizate din oțel, se protejează anticoroziv prin zincare termică sau electrochimică. Stratul de acoperire realizat prin zincare trebuie să fie continuu, lipsit de inclusiuni și fără pete. Grosimea stratului de zinc : minim 45 µm la depunerile termice și minim 12 µm la depunerile electrochimice.
 - Armăturile și conectorii pentru rețelele aeriene de joasă tensiune cu conductoare izolate trebuie să permită un montaj ușor și corect.
 - Conectorii trebuie concepuți să permită montajul sub tensiune și să fie prevăzuți cu anvelope izolante; anvelopa izolantă trebuie să asigure refacerea izolației conductorului și să asigure etensibilitatea contactelor.
- Organele de asamblare destinate a efectua un montaj prin perforarea izolației trebuie să fie prevăzute cu limitator de cuplu. Valoarea cuplului minim și maxim de strângere se va indica în norma de produs.
- Caracteristicile electrice ale conectorilor se definesc prin urmărirea evoluției lor de-a lungul a 200 cicluri de îmbătrânire electrică accelerată. Pe parcursul ciclurilor de îmbătrânire se urmăresc :
 - * rezistență relativă de contact - care trebuie să fie cel mult egală cu 1,0 - și evoluția ei funcție cînd numărul de cicluri,
 - * încălzirea conectorului - temperatura conectorului trebuie să fie inferioară sau cel mult egală temperaturii conductorului de referință ;
 - * comportarea la 4 şocuri de suprantensiitate cu durata de 1 secundă și intensitatea calculată funcție de materialul conductoarelor ; după aceste şocuri conectorii trebuie să-și păstreze caracteristicile electrice.

- Armăturile (accesorile cu rol mecanic) trebuie să reziste la sarcinile nominale specificate în tabelul 5.1 . Sarcinile de calcul se determină prin adoptarea unui coeficient de siguranță 2 .

Tabelul 5.1
Eforturile nominale ale accesoriilor
utilizate în liniile electrice aeriene de joasă tensiune
cu conductoare izolate torsadate

Nr. crt.	Denumirea armăturii	Efort orizontal	efort vertical
1.	Armătură de susținere	-	300
2.	Tijă de susținere	200	300
3.	Brătară de susținere	200	300
4.	Tijă de întindere	1100	300
5.	Brătară de întindere	1100	300
6.	Intinzător	750	-
7.	Prelungitor	750	-
8.	Clemă de întindere rețea	750	-
9.	Brătară pentru fascicul	10	-
10.	Brătară de fixare pe stâlp	25	-
11.	Cui de fixare pe zid	-	10

ANEXA 5.1.

**DETALII DE REALIZARE
A LINIILOR ELECTRICE AERIENE DE JOASĂ TENSIUNE
CU CONDUCTOARE IZOLATE TORSADATE**

1. Montarea fasciculului (legătură) la stâlp de susținere în aliniament
2. Montarea fasciculului (legătură) la stâlp de susținere în colț
3. Montarea fasciculului (legătură) la stâlp terminal
4. Montarea fasciculului (legătură) la stâlp de întindere în aliniament
5. Montarea fasciculului (legătură) la stâlp de întindere cu înnădirea conductoarelor
6. Montarea fasciculului (legătură) la stâlp de derivație

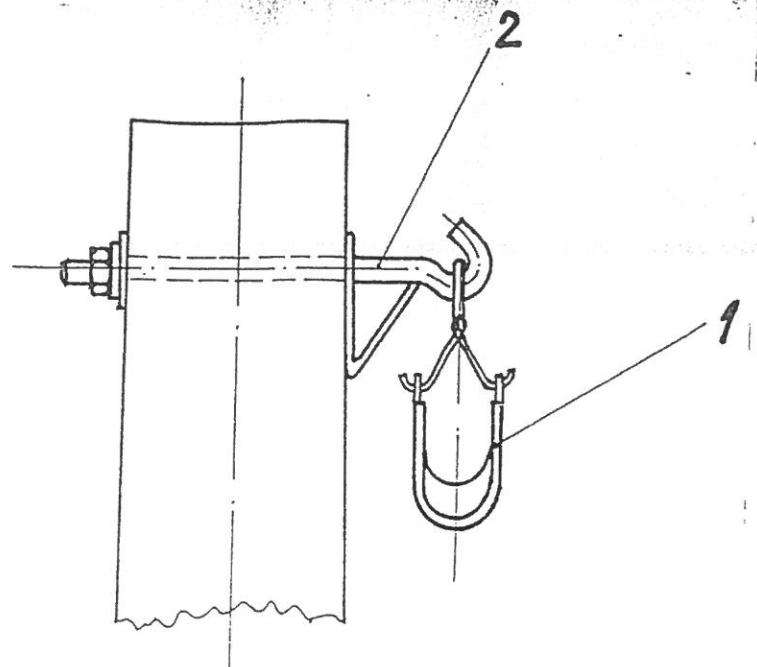


Figura 1.

LEGĂTURĂ DE SUSȚINERE ÎN ALINIAMENT

1. Armătură de susținere AS 300
2. Tijă de susținere TS sau Brătară de susținere BSC (BSV)

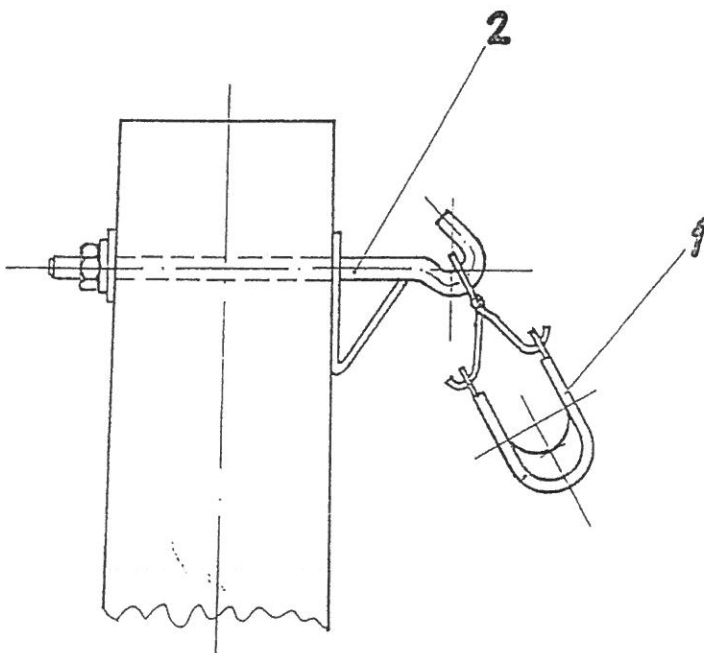


Figura 2

LEGĂTURĂ DE SUSȚINERE ÎN COLȚ

- 1: Clemă de susținere AS 300
2. Tijă de susținere TS sau Brătară de susținere BSC sau BSV

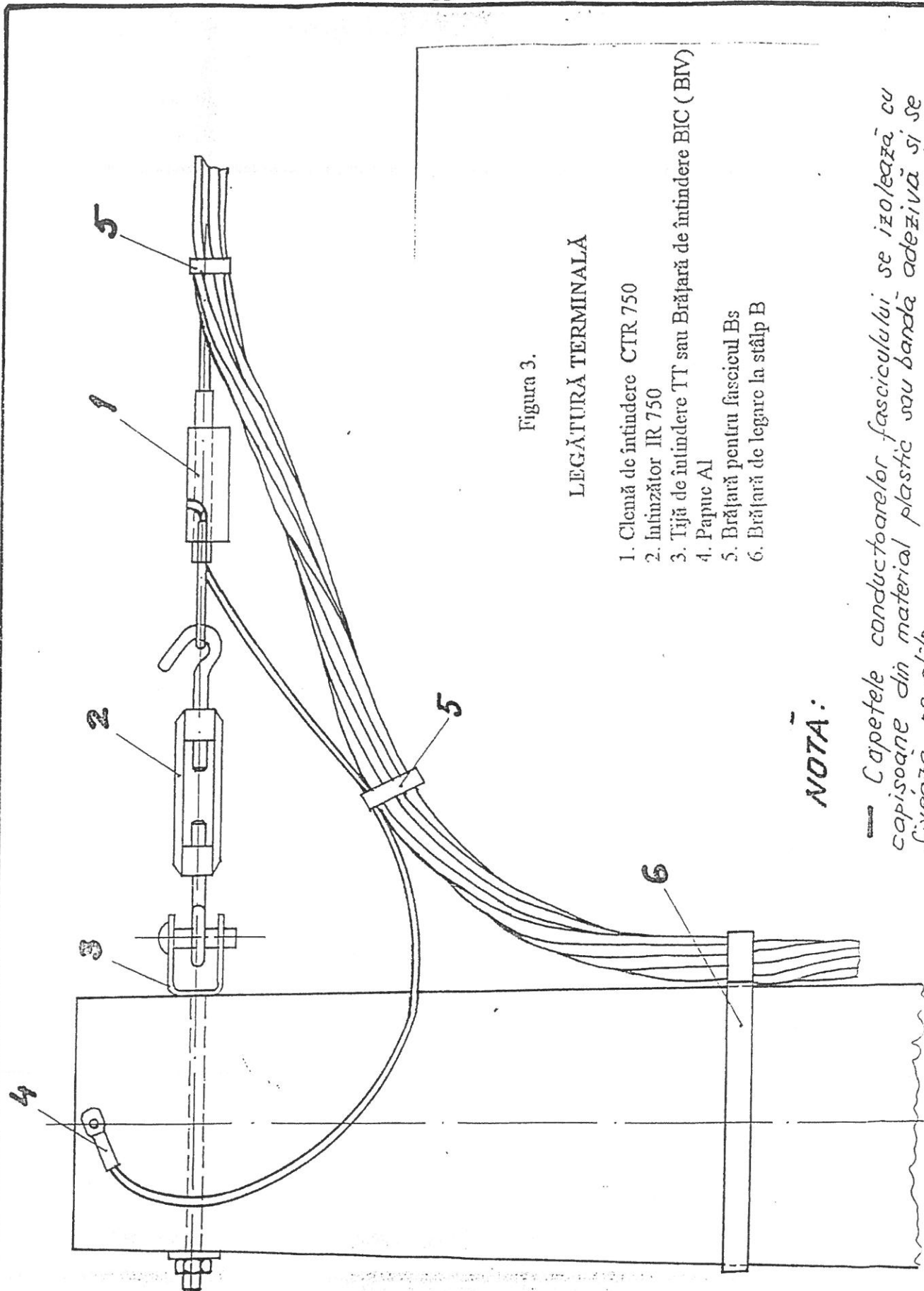


Figura 3.

LEGĂTURA TERMINALĂ

1. Clemă de întindere CTR 750
2. Înlăzitor IR 750
3. Tijă de întindere TT sau Brățără de întindere BIC (BIV)
4. Papuc Al
5. Brățără pentru fascicul Bs
6. Brățără de legare la stâlp B

NOTĂ:

Cârțile conductoarelor fasciculului se izolează cu capisoane din material plastic sau bandă adezivă și se fixează pe stâlp.

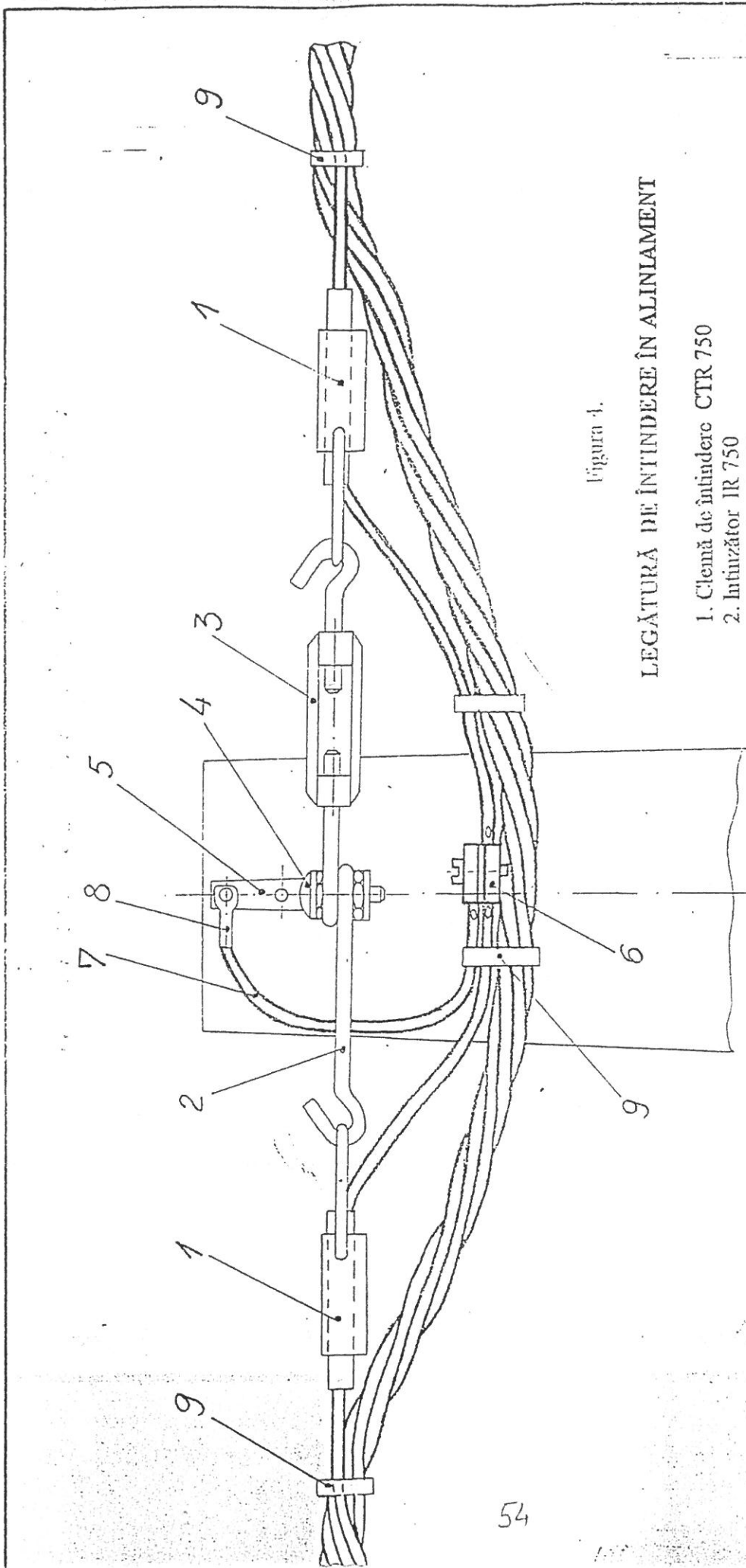


Figura 4.

LEGĂTURA DE ÎNTINDERE ÎN ALINIAMENT

1. Clemă de întindere CTR 750
2. Întinzător IR 750
3. Prelungitor P 750
4. Trijă de întindere TT sau Brătară de întindere BIC (BIV)
5. Bandă de legare la pământ
6. Clemă deînvărtire cu dinți CDD 140
7. Conductor de legare la pământ AL 50
8. Papuc AL
9. Brătară pentru făscicul Bs

ÎNȚINDERE CU ÎNNĂDIREA CONDUCTOARELOR

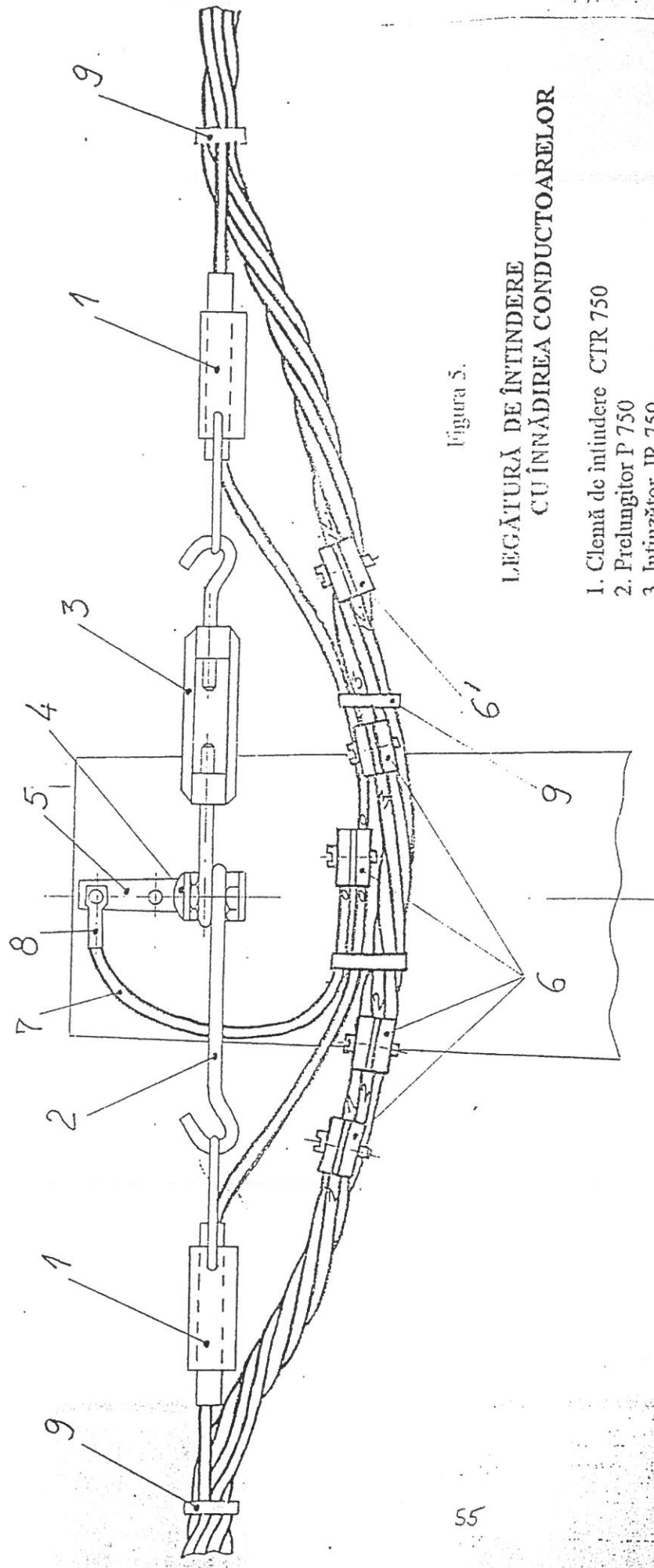
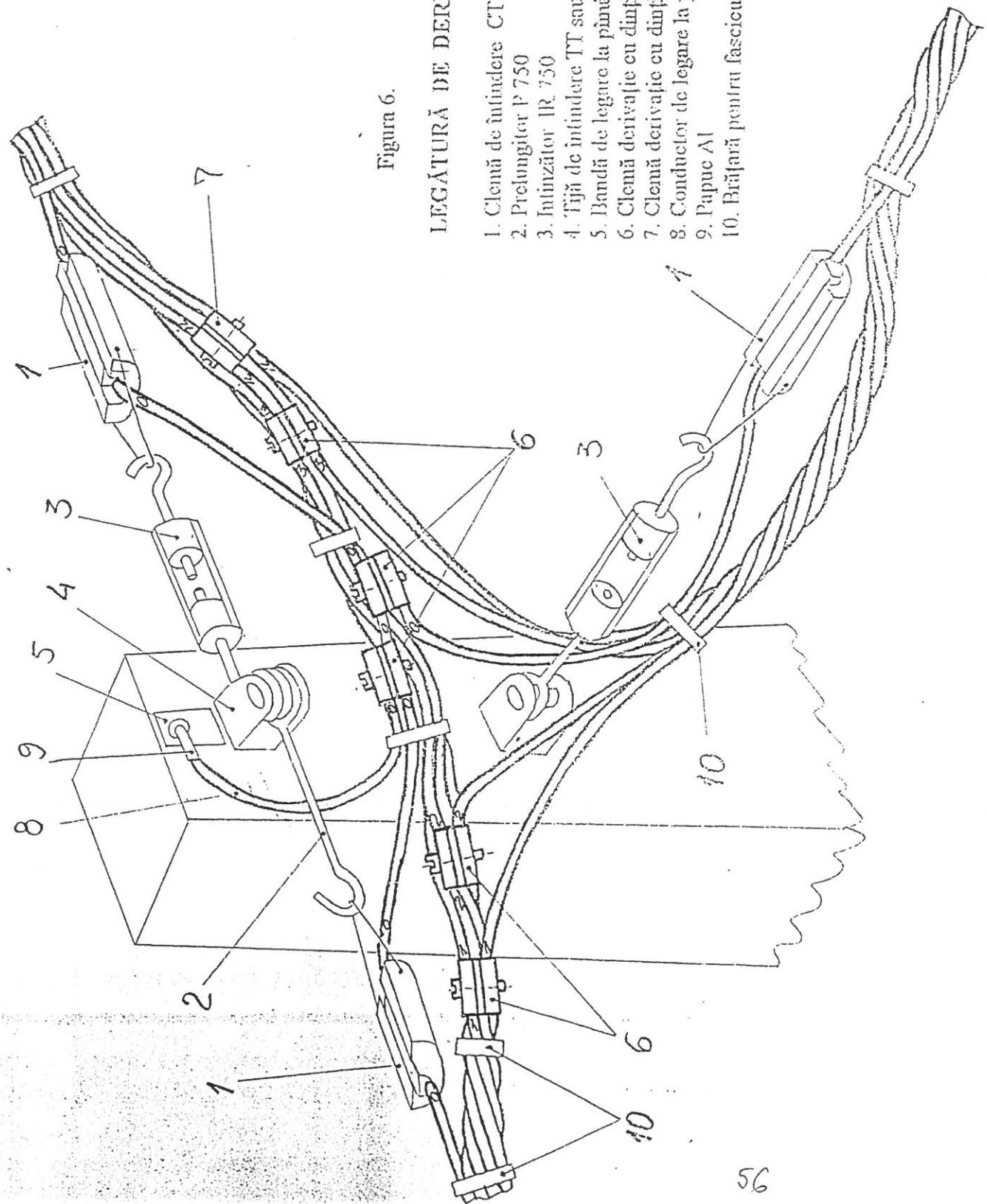


Figura 5.

LEGĂTURĂ DE ÎNȚINDERE CU ÎNNĂDIREA CONDUCTOARELOR

1. Clemă de întindere CTR 750
2. Prelungitor P 750
3. Intinzător IR 750
4. Tijă de întindere TT sau Brățară de întindere BIC (BIY)
5. Bandă de legare la pîmânt
6. Clemă deivajie cu dinți CDD 140 și CDD 15II
7. Conductor de legare la pîmânt AL 50
8. Papuc AL
9. Brățară pentru fascicul Bs



ANEXA 5.2.

**ACCESORII
PENTRU REALIZAREA LINIILOR ELECTRICE AERIENE
DE JOASĂ TENSIUNE
CU CONDUCTOARE IZOLATE TORSADATE**

1. Armătură de susținere	simbol	AS 300
2. Tijă de susținere		TS 300
3. Brătară de susținere - stâlpi centifigați	→	BSV
4. Brătară de susținere - stâlpi vibrați	→	BSC
5. Tijă de întindere		TT 750
6. Brătară de întindere - stâlpi centifigați		BTC
7. Brătară de întindere - stâlpi vibrați (față plină)		BTVa
8. Brătară de întindere - stâlpi vibrați (față cu alveole)		BTNb
9. Intinzător rețea		IR 750
10. Prelungitor rețea		P 750
11. Clemă de întindere rețea		CRT 750
12. Clemă derivăție rețea (clemă cu dinți)		CDD 140
13. Clemă derivăție iluminat public		CDD 15 IL

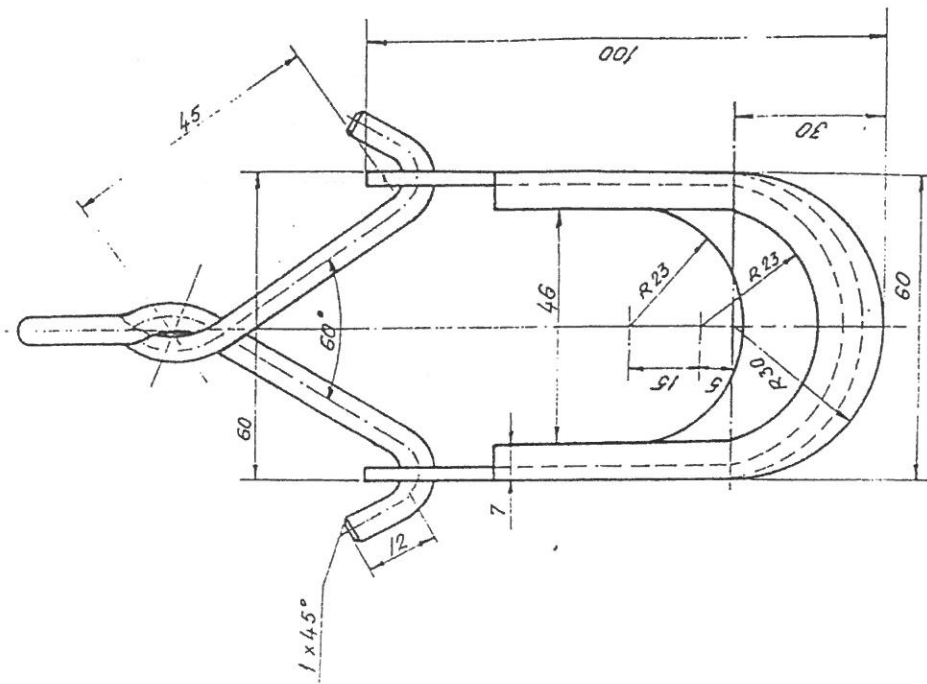
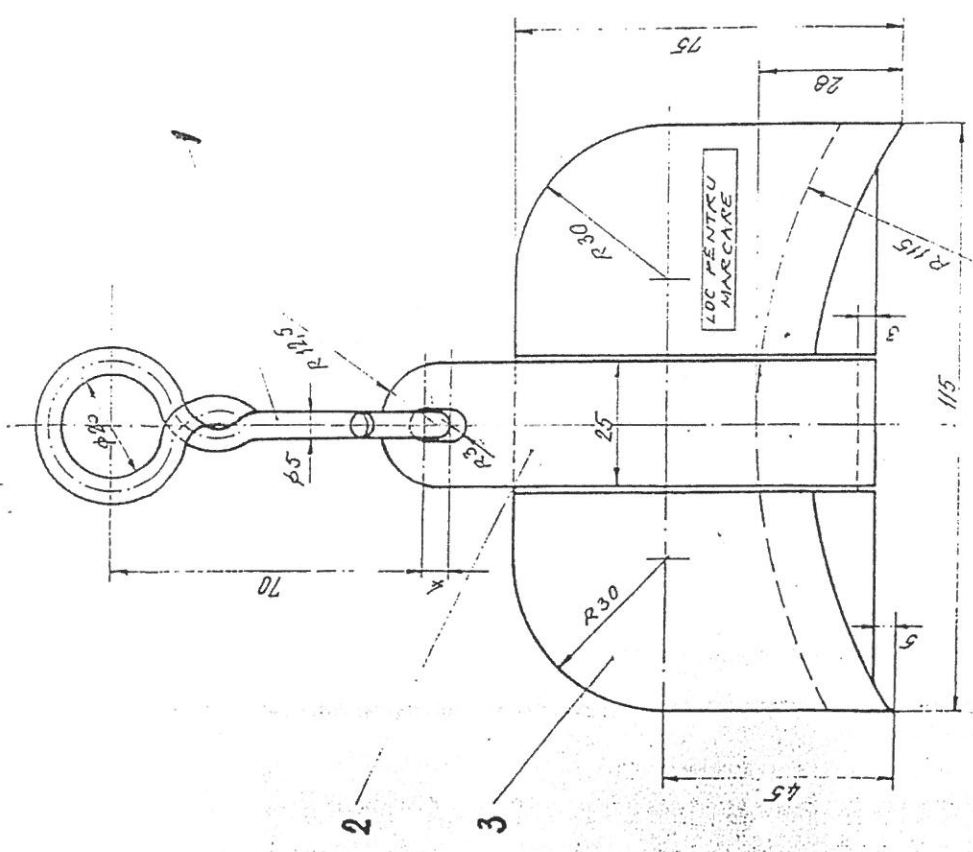


Figura 1

ARMĂTURĂ DE SUSTINERE AS 300

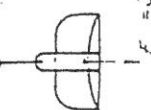
1. Corp de susținere
2. Suport metalic
3. Cercel



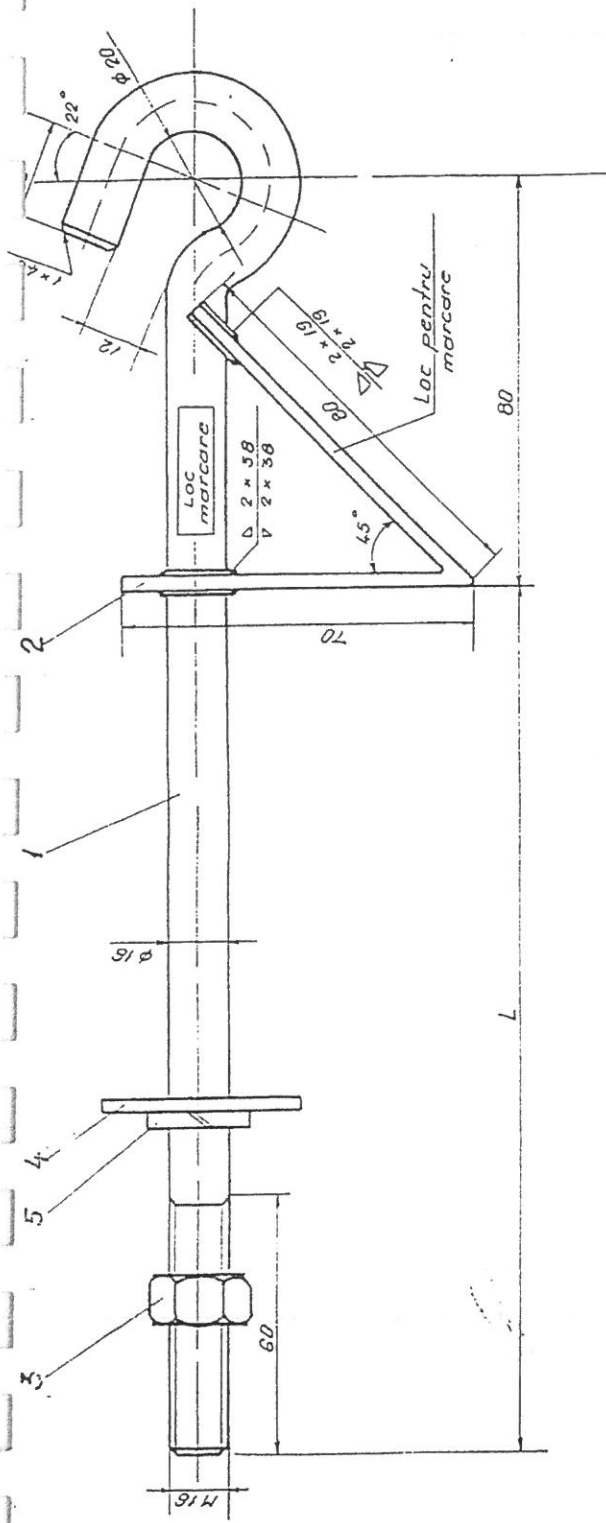
NOTĂ:

PIESELLE METALICE SE PROTEJEAZĂ PRIN
ACOPERIRE TERMICĂ CU ZINC, CONFORM STAS 7221-90,
GROSIMEA STRATULUI - MINIM 44 µm. SAU PRIN
ZINCARE ELECTROCHIMICĂ, CONFORM STAS 7222-89.
GROSIMEA STRATULUI DE ZINC - MINIMA 24 µm.

EFORT NOMINAL



$$F = 300 \text{ daN}$$

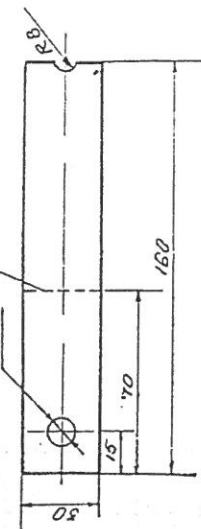
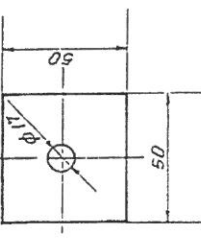


SAIIBA PATRATA

Poz. 6

Sc. 1:2

CONTRAFISA
Poz. 2
Sc. 1:2
Linie indoire



- NOTA:**
- Se va proteja prin zincare electrochimică, conf. URS 7222-89
Grosimea stratului de zinc, min. 24 μ m

Tijă de susținere tijă	Ø tijă	L (mm)
TJ - 200	Ø 16 +0.001 RP 10.0001	200
TJ - 250	Ø 16 ST	250
TJ - 280	Ø 16 00.002 RP 10.0002	280
TJ - 300	Ø 16 10.005 RP 10.0005	300
TJ - 350	Ø 16 10.1 RP 10.1	350

Efort nominal

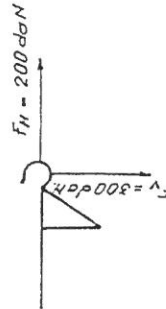


Figura 2

TIJĂ DE SUSȚINERE TS 300

1. Tijă de susținere
2. Contrafisă
3. Piuliță M16
4. řaiibă patrată
5. řaiibă Grower

1. Suport cărlig
2. Brățări
3. Surub cu cap hexagonal M 10 x 60
4. Piuliță M 10
5. Saiba Grower
6. Saiba plată

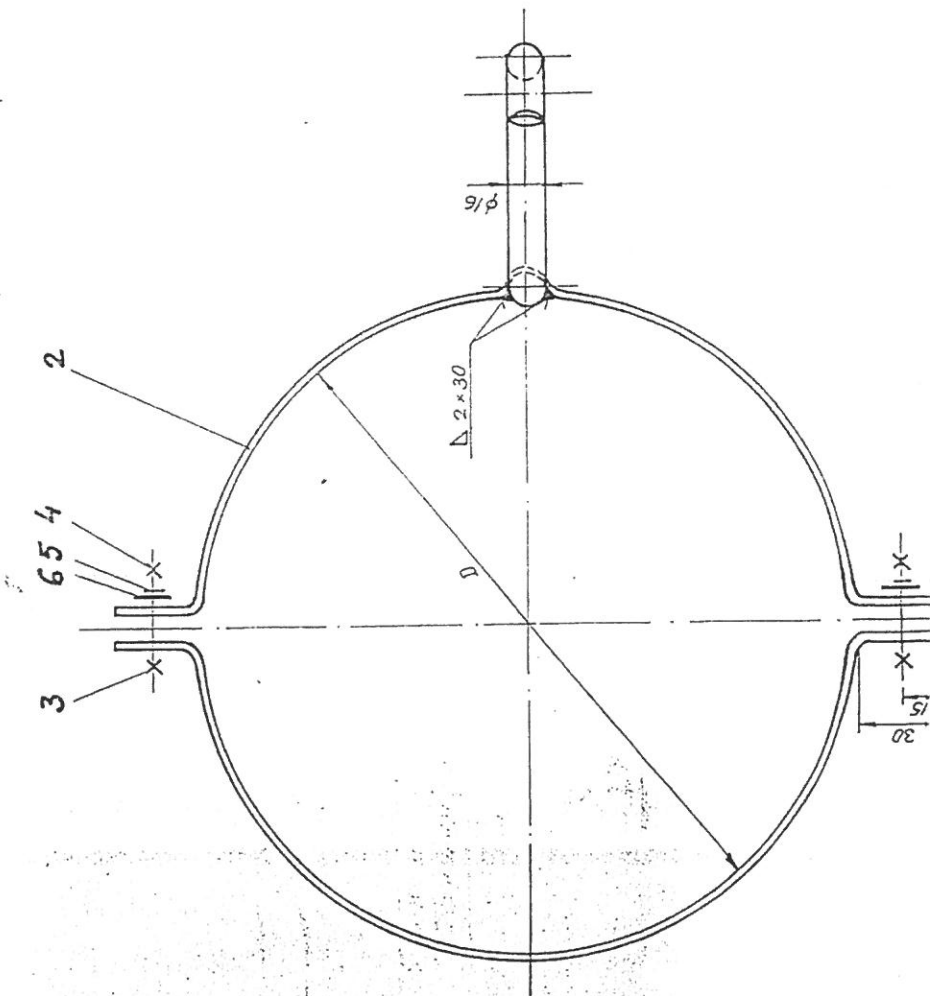
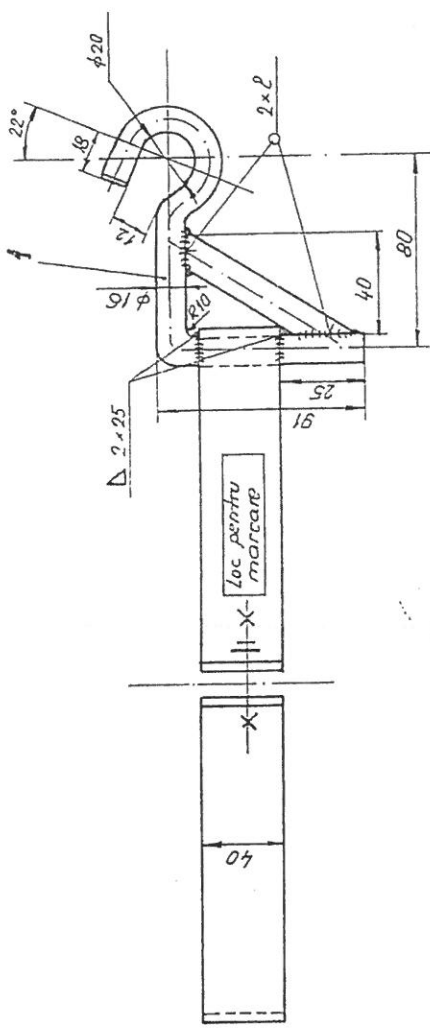
BRĂȚARĂ DE SUSȚINERE - STÂLPÎ CENTRIFUGATI - BSC

Figura 3

BRĂȚARĂ DE SUSȚINERE	D (mm)	STIUR	D (mm)
BSC - 160	SC 10.001	SC 160	
BSC - 250	SC 10.002	SC 250	
BSC - 275	SC 10.005	SC 275	
BSC - 275	SCP/5006 -120	SC 275	
BSC - 370	SC 15.007	SC 210	
BSC - 370	SC 15.014	SC 370	
BSC - 370	SC 15.015	SC 370	

NOTĂ:

1). Produsul se protejează prin acoperire termică cu zinc, conf. SNTES 7221 - 30, grosimea stratului de zinc de minimum $44 \mu\text{m}$. Piezetele de asamblare cu fier se vor proteja prin zincare electrochimica conform SNTES 7222 - 84 grosimea stratului de zinc de minimum $24 \mu\text{m}$.



BRĂTĂRA DE SUSTINERE	D <small>E</small>	STILP	D <small>M</small> EASU <small>R</small> U <small>M</small> / (mm).
	Q	m	
BSV - 165	SE 4 T	165	75
BSV - 205	SE 5 T	205	95
BSV - 265	SE 10 T	265	130
BSV - 320	SE 11 T	320	160
BSV - 280	SE 6(7)T	280	155
BSV - 350	SE 8(9)T	350	190

NOTĂ:

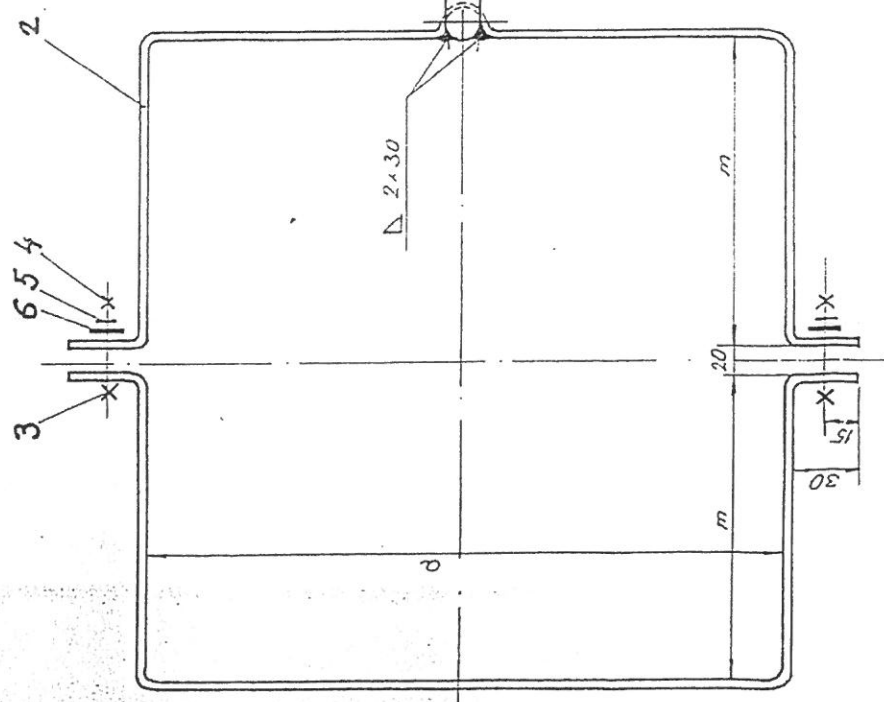
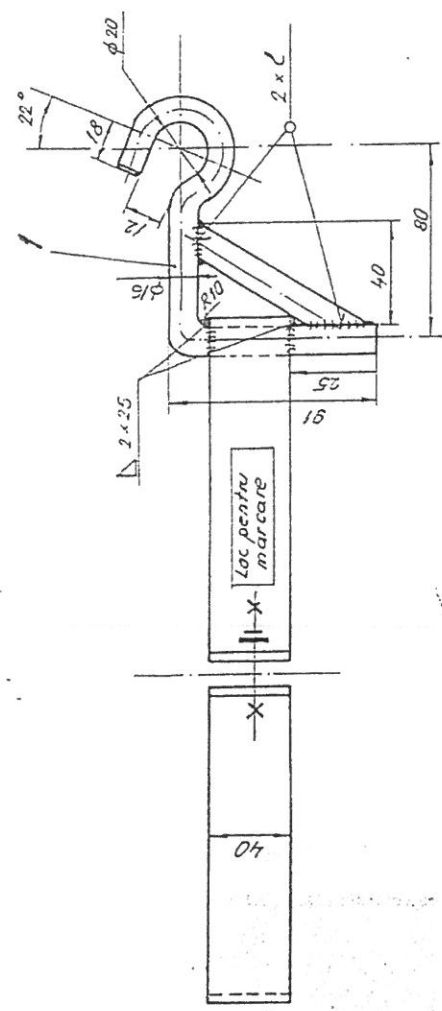
1). Produsul se protejează prin acoperire termică cu zinc, coaf. STAS 7221-90, grosimea stratului de zinc de minimum 44 μm .

Pieseile de desambalare cu filet se vor proiecta prin zincare electrochimică, conform STAS 7222-84 grosimea stratului de zinc de minimum 24 μm .

2). Brătăra de susținere se montează cu șrăguț pe poartă plană a stâlpului.

$$f_V = 200 \text{ daN}$$

Efort nominal



BRAȚĂ DE SUSȚINERE - STALPI VIBRATI - BSV

1. Suport cărlig
2. Brătară
3. Șurub cu cap hexagonal M 10 x 60
4. Puiuță M 10
5. Sâlbă Grower
6. Sâlbă plată

Figura 4

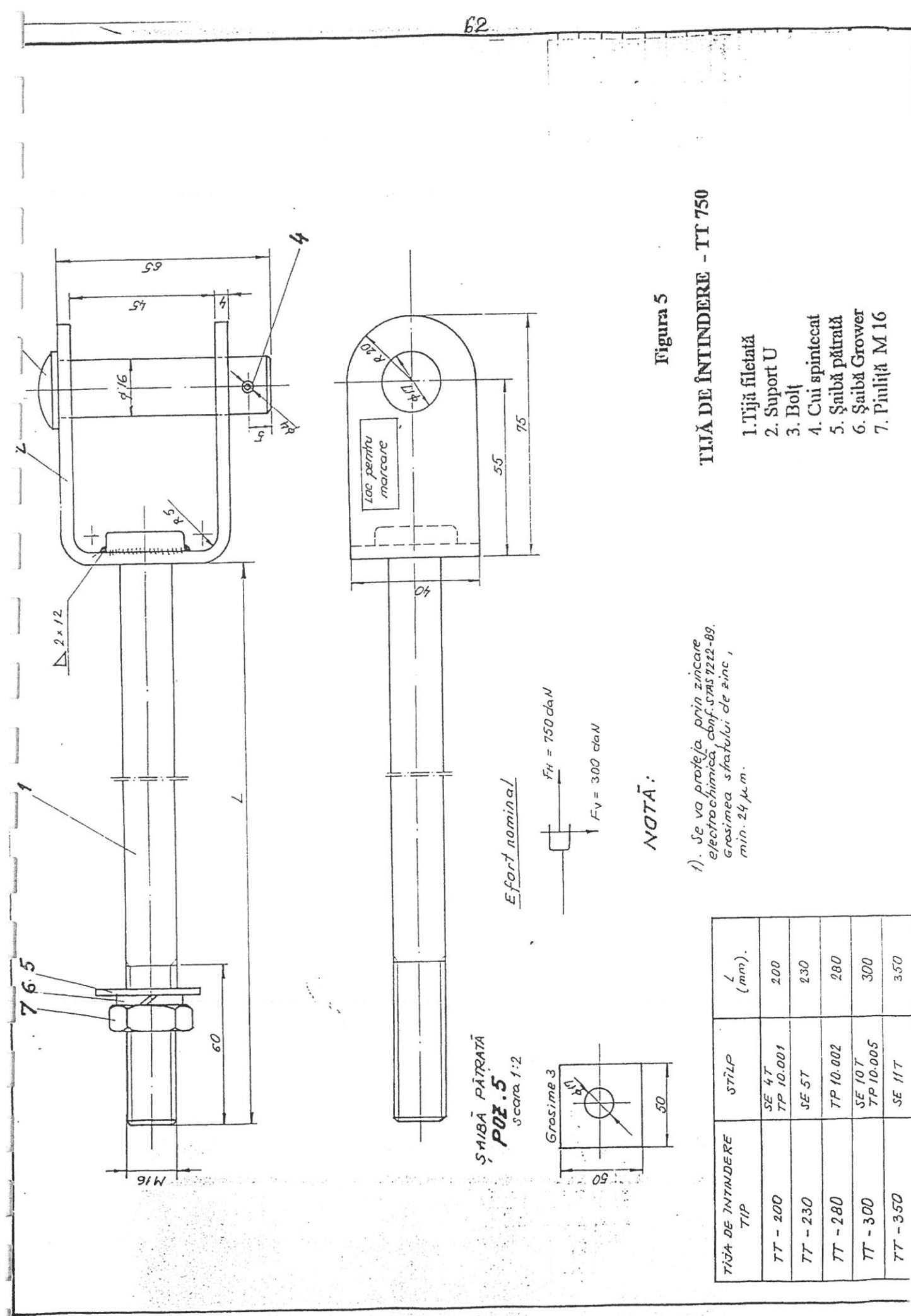
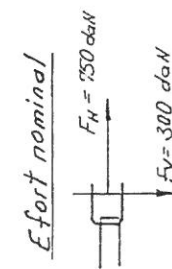
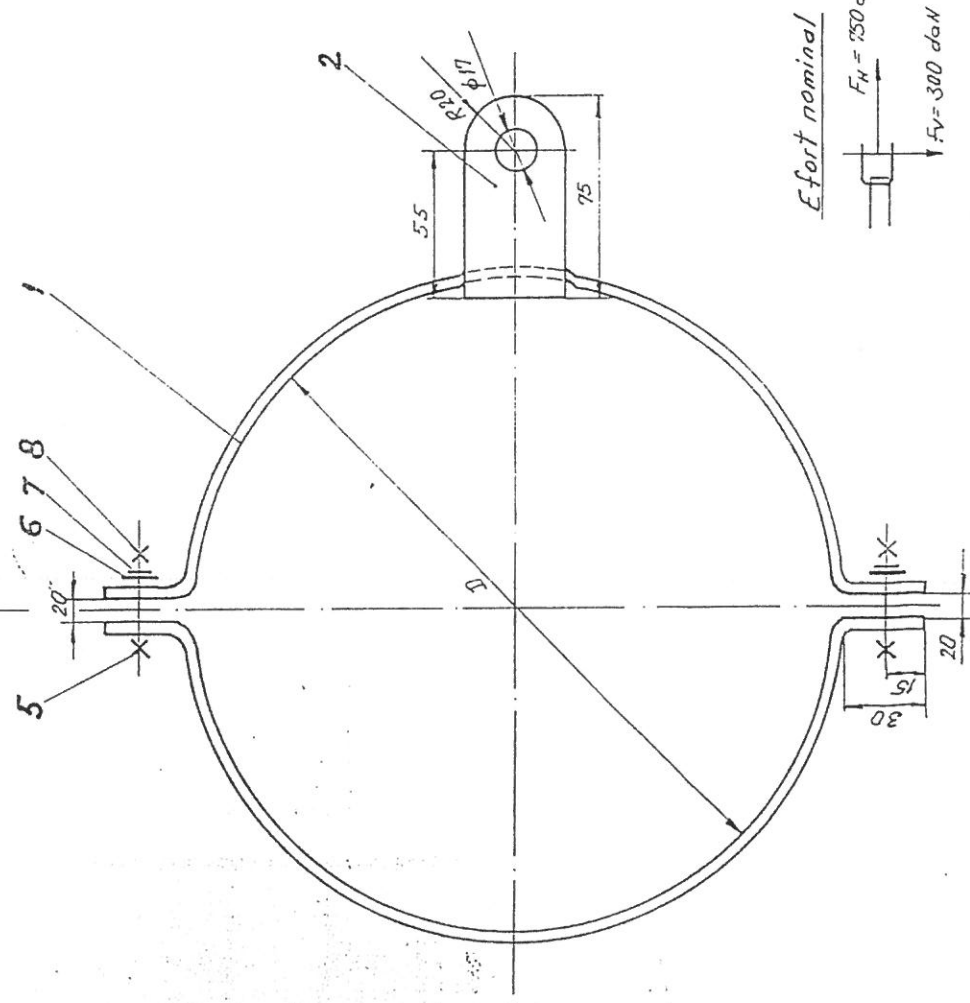
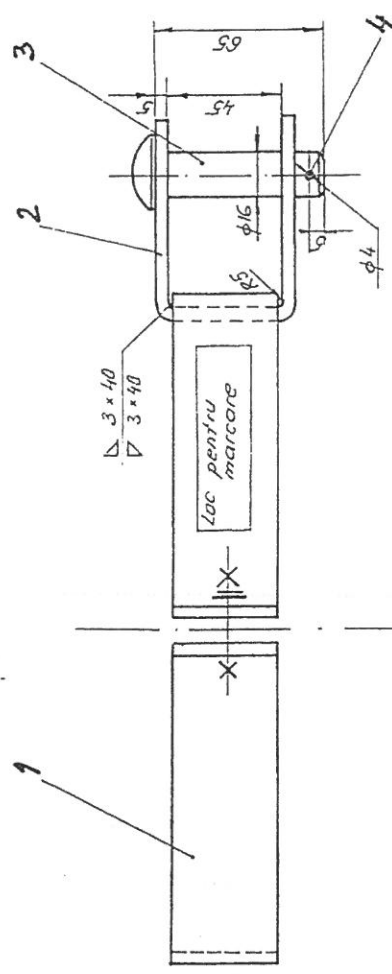


Figura 5

BRĂȚARA DE ÎNTINDERE	D I	STIL P	D (mm)
BTC - 160	SC 10001		160
BTC - 250	SC 10002		250
BTC - 275	SC 10005		275
BTC - 275	SCP 15006-120		275
BTC - 310	SC 15007		310
BTC - 370	SC 15014		370
BTC - 370	SC 15015		370

NOTĂ:

- 1). Se protejează prin acoperire termică cu zinc, conform STAS 7221-90, grosimea stratului de zinc minim $44 \mu\text{m}$.
- 2). Piezele de asamblare cu fișet se protejează prin zincare electrochimică, conform STAS 7222-89, grosimea stratului de zinc minim $24 \mu\text{m}$.

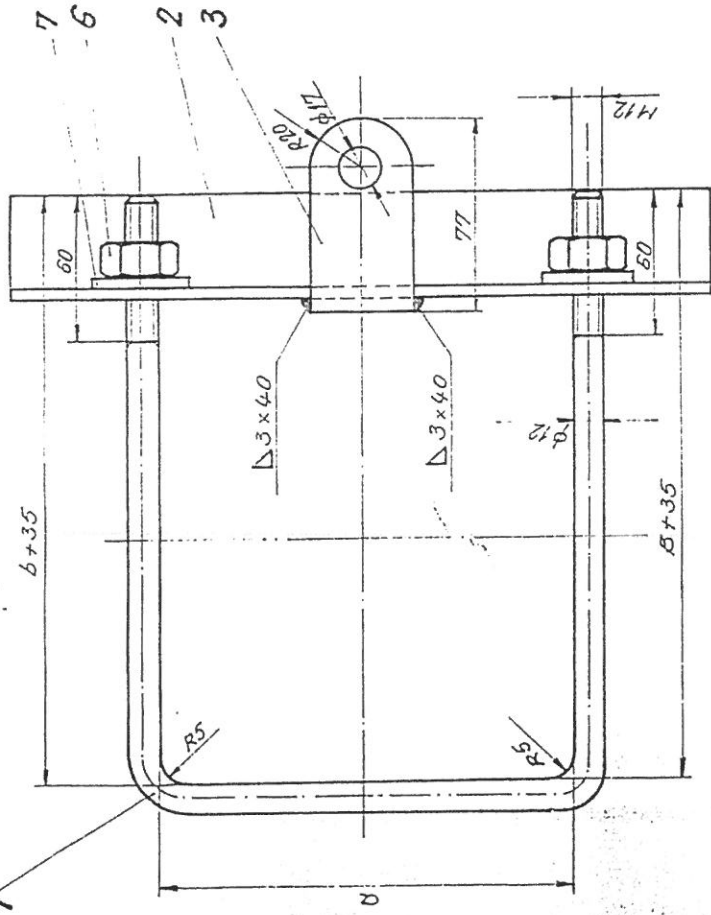


BRĂȚARĂ DE ÎNTINDERE - STÂLPÎ CENTRIFUGATI - BTC

1. Brătară
2. Suport U
3. Bolt
4. Cui spintecat
5. Surub M 10x60
6. Saibă plată
7. Saibă Grower
8. Piuliță M 10

Figura 6

CONSOLĂ
POZ. 2
SCARA 1:2.



SUPPORT „U“
POZ. 3, 4 și 5
SCARA 1:2

NOTĂ :

SE PROTEJEAZĂ PRIN ACOPERIRE TER-
NICĂ CU ZINC, CONF. STAS 7221-90, GROSIMEA
STRATULUI DE ZINC MINIM 44 μm .
PIESELLE DE ASAMBLARE CU FILET SE
PROTEJEAZĂ PRIN ZINCARE ELECTROCHIMI-
CĂ, CONF. STAS 7222-89, GROSIMEA STRATULUI
DE ZINC, MINIM 24 μm .
BRĂTĂRA SE MONTEAZĂ CU CONSOLA RE-
PARTEA PLINĂ A STĂLPULUI.

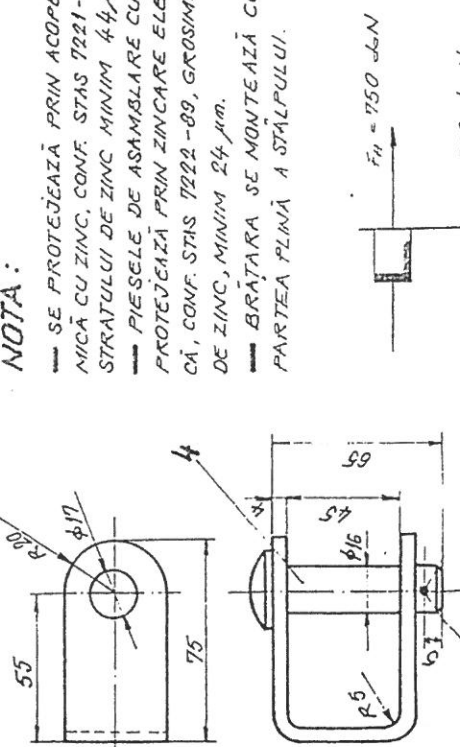
NOTĂ :

SE PROTEJEAZĂ PRIN ACOPERIRE TER-
NICĂ CU ZINC, CONF. STAS 7221-90, GROSIMEA
STRATULUI DE ZINC MINIM 44 μm .
PIESELLE DE ASAMBLARE CU FILET SE
PROTEJEAZĂ PRIN ZINCARE ELECTROCHIMI-
CĂ, CONF. STAS 7222-89, GROSIMEA STRATULUI
DE ZINC, MINIM 24 μm .
BRĂTĂRA SE MONTEAZĂ CU CONSOLA RE-
PARTEA PLINĂ A STĂLPULUI.

Figura 7

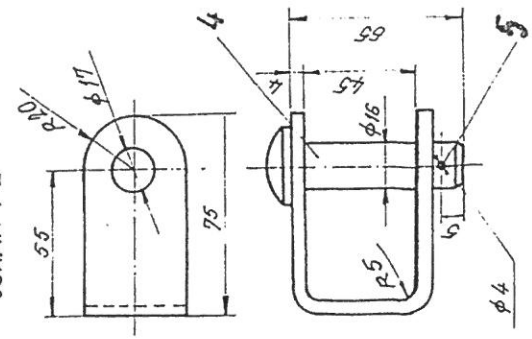
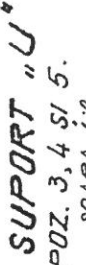
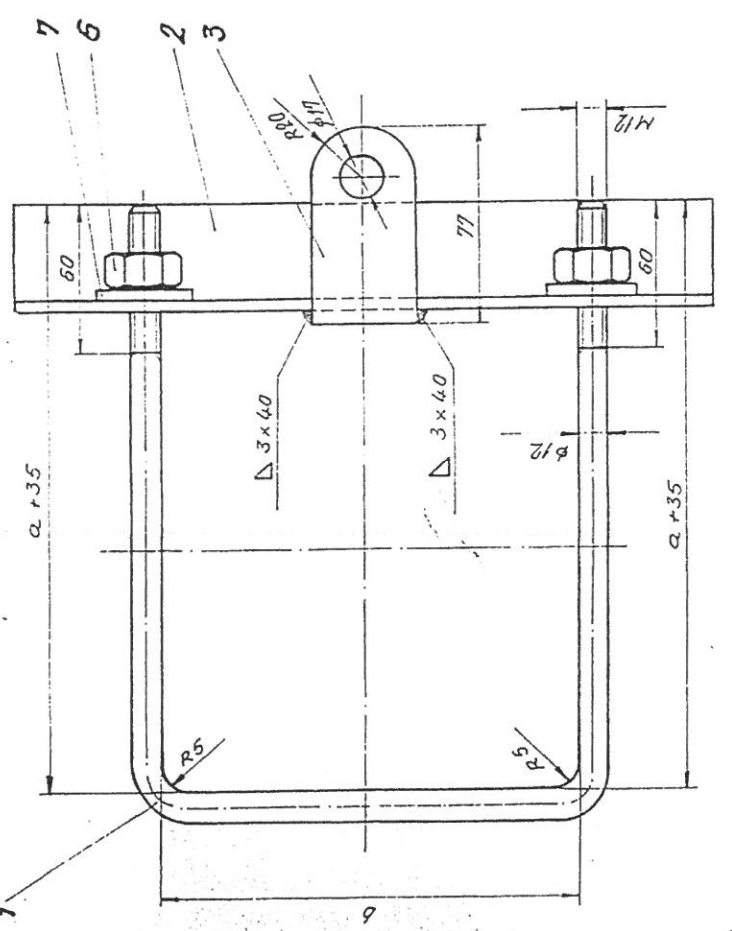
BRĂTĂRĂ DE ÎNTINDERE – BTVA
STĂLPİ VIBRAȚI (față plină)

1. Brătară
2. Consolă
3. Suport U
4. Bolt
5. Cui spintecat
6. Piuliță M 12
7. Șanțul plată



CONSOLĂ

POZ. 2
SCARA 1:2



NOTĂ :

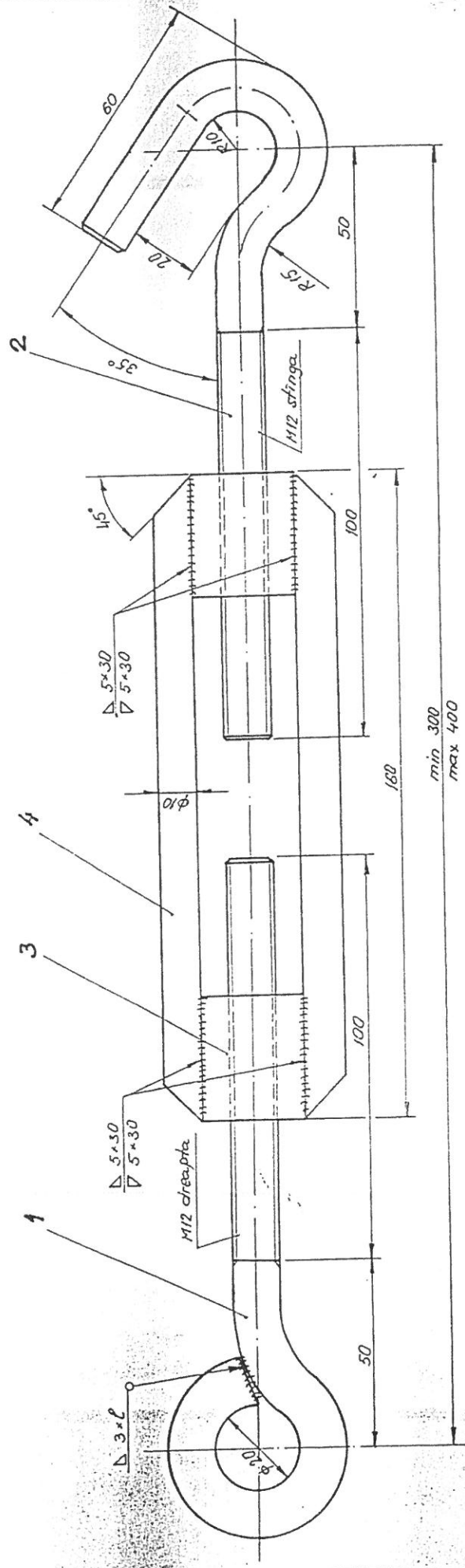
- SE PROTEJEAZĂ PRIN ACOPERIRE TERMICĂ CU ZINC, CONF. STAS 7221 - 90, GROSIMEA STRATULUI DE ZINC MINIM 44 μm .
- PIESELE DE ASAMBLARE CU FILET SE PROTEJEAZĂ PRIN ZINCARE ELECTROCHIMICĂ, CONF. STAS 7222 - 89, GROSIMEA STRATULUI DE ZINC, MINIM 24 μm .
- BRĂȚAREA SE MONTEAZĂ CU CONSOLA PE PARTEA DINĂUĂ A STĂLPULUI.

BRĂȚARA DE ÎNTRĂDARE.	STÂLP	DIMENSIUNI (mm).		
		σ	δ	β
BTv6 - 165	SE 4 T	165	165	185
BTv6 - 210	SE 5 T	205	210	230
BTv6 - 275	SE 10 T	265	275	300
BTv6 - 330	SE 6(7)M	280	330	360
BTv6 - 330	SE 11 T	320	330	360
BTv6 - 395	SE 8(9) T	350	395	430

Figura 8

BRĂȚĂ DE ÎNTRĂDERE - BTv6 STĂLPI VIBRATI (față cu alveole)

1. Brăță
2. Consolă
3. Suport U
4. Bolt
5. Cui spintecat
6. Piuliță M 12
7. Șablu plată



Efort nominal

$F = 750 \text{ daN}$

Figura 9

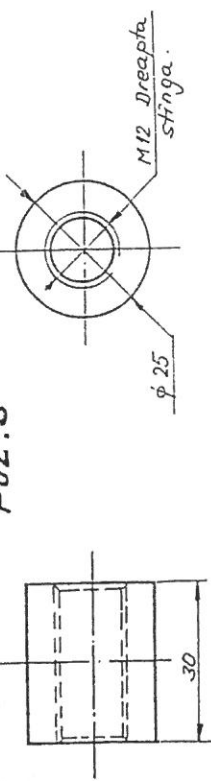
INTINZATOR RETEA - IR 750

1. Ochi cu filer
2. Cârlig cu filer
3. Corp întijitor
4. Bridă

NOTĂ:

— Se protejează prin zincare electrochimică, grosimea minimă a stratului de zinc $24 \mu\text{m}$.

PÖZ. 3



— Se execută fără cu filer dreapta și fără cu filer stanga.

$$A_3 (297 \times 420) = 0,125 \text{ m}^2$$

Figura 10
PRELUNGITOR RETEA - IR 750

EFFORT NOMINAL

Figura 10
PRELUNGITOR RETEA - IR 750

1. Suport teacă
2. Pană lateral stânga
3. Pană central stânga
4. Pană central dreapta
5. Pană lateral dreapta
6. Bridă

NOTĂ
SE PROTEJEAZĂ PRIN ZINCARE ELECTROCHIMICĂ,
GROSIMEA MINIMĂ A STRATULUI DE ZINC 24 μm .

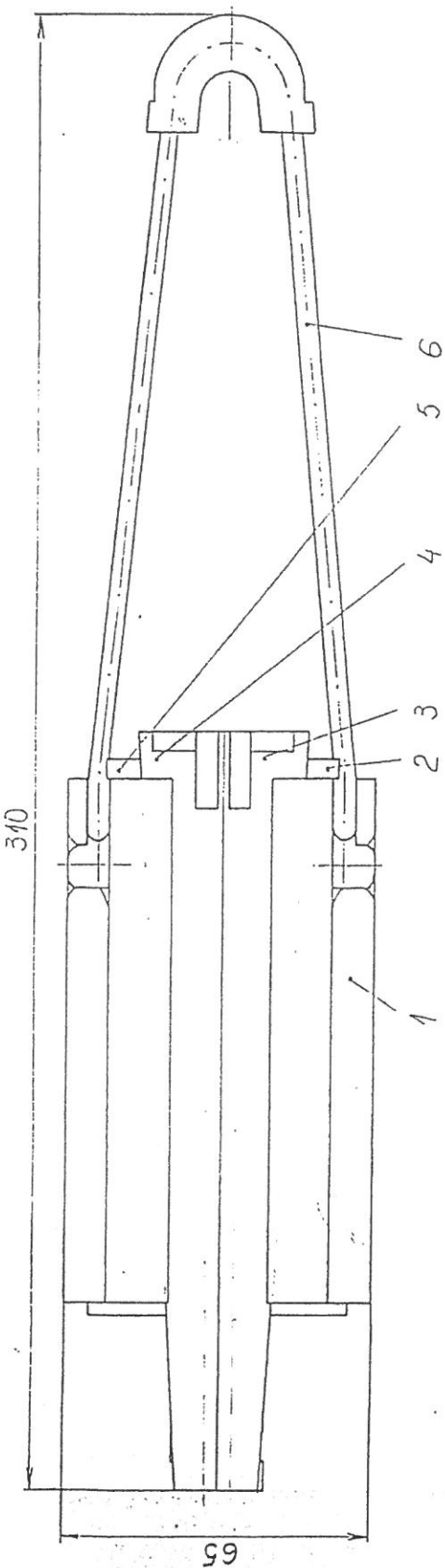
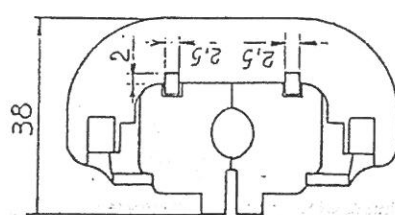


Figura 11

CLEMĂ ÎNȚINDERE RETEA - CRT 750

1. Suport ticăă
2. Pană laterală stânga
3. Pană centrală stânga
4. Pană centrală dreapta
5. Pană laterală dreapta
6. Bridă



Vedere fără poz. 6

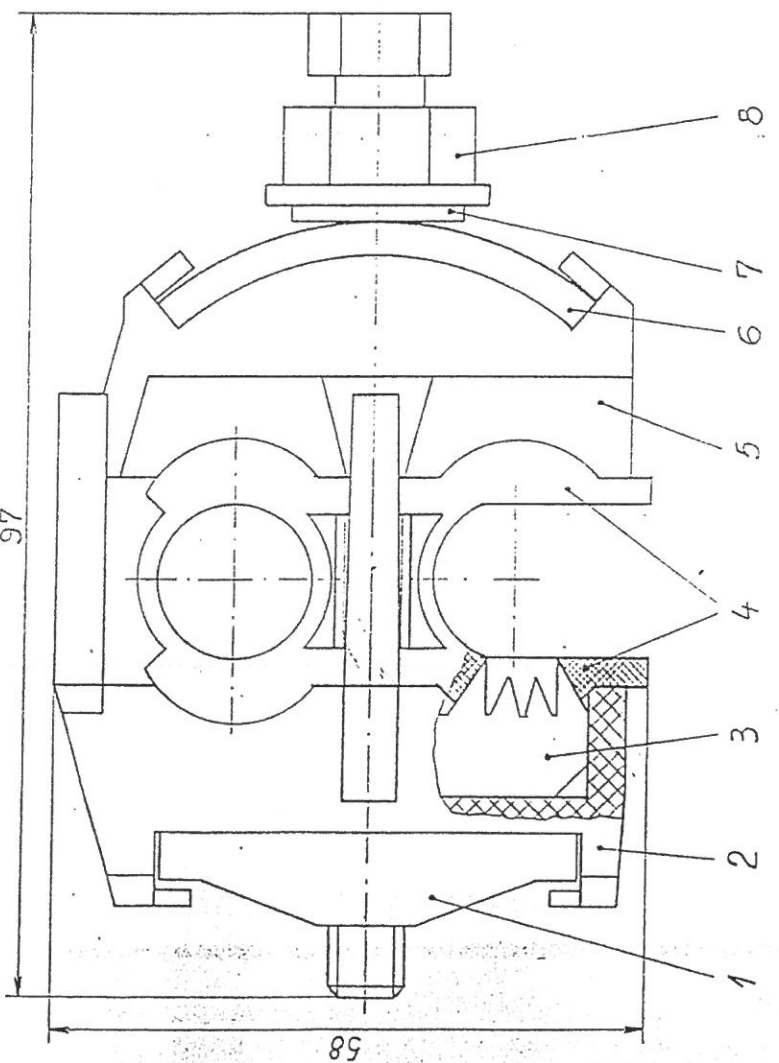


Figura 12

CLEMĂ DERIVATIE REȚEA - CDD 140
(clemă cu dinți)

1. Piuliță specială M18
2. Bac fix
3. Punte en dinți
4. Burduf
5. Bac mobil
6. Saibă specială
7. Saibă plată
8. Surub en cap surzibil M 8x80

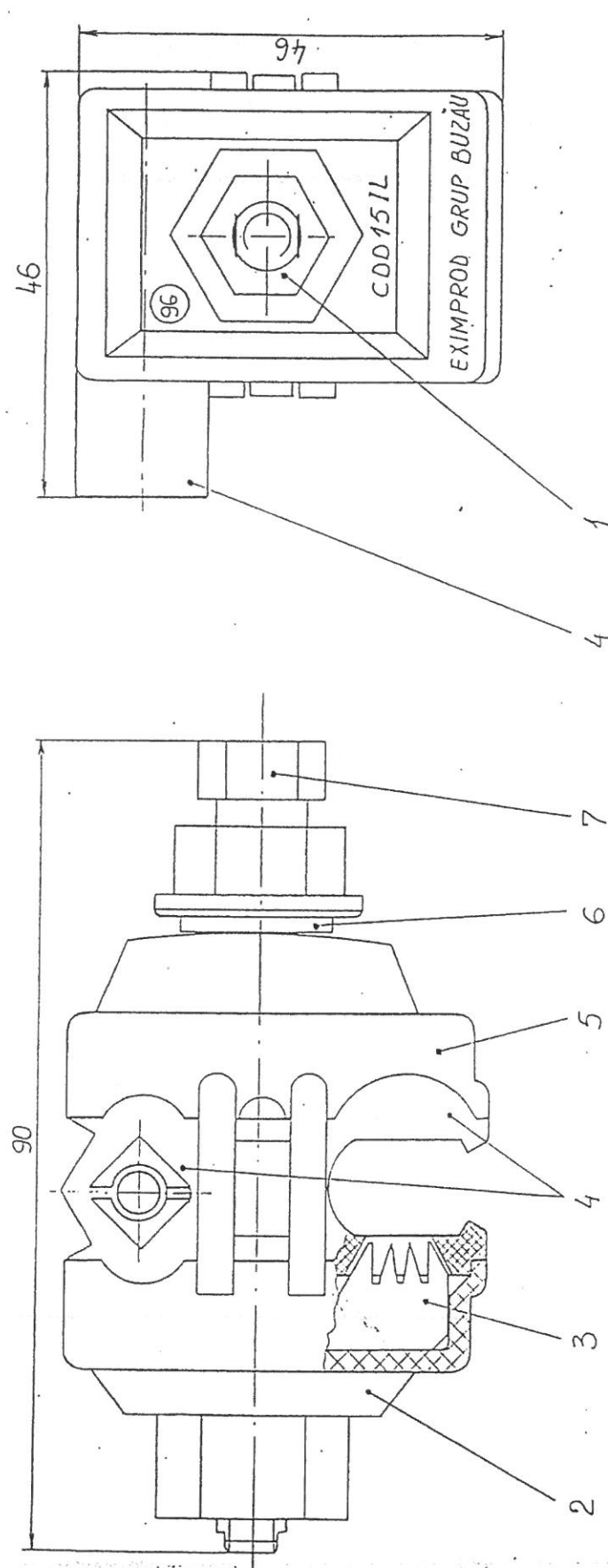


Figura 13

CLEMĂ DERIVATIE - CDD 15 IL
pentru ILUMINAT PUBLIC
(clemă cu dinți)

1. Piuliță specială M18
2. Bac fix
3. Punte cu dinți
4. Burduf
5. Bac mobil
6. Saibă
7. Sumbu cu cap fizabil M8x70

6. LINII ELECTRICE CU CONDUCTOARE IZOLATE TORSADATE CU DOUĂ CIRCUITE

Proiectarea, dimensionarea și realizarea liniilor electrice aeriene de joasă tensiune cu conductoare izolate torsadate cu două circuite se face în aceleasi condiții prevăzute în capitolele anterioare. Particularitățile constau în condițiile de dimensionare a stâpilor și modului de așezare pe stâlpi a fasciculelor.

6.1. Calculul deschiderilor dintre stâlpi

6.1.1. Deschiderea la încărcări verticale se determină conform punctului 4.2.1. pentru fiecare din cele două fascicule, reținându-se valoarea cea mai mică.

6.1.2. Deschiderea la vânt se determină astfel încât, la încărcările generate de cele două fascicule, efortul admisibil în stâlp să nu fie depășit.

Se calculează deschiderea în două ipoteze, vânt maxim și vânt simultan cu chiciură, reținându-se valoarea cea mai mică.

$$M_{cap} - V * H_g$$

a) ipoteza vânt maxim : $a_v = \frac{M_{cap} - V * H_g}{a_g * (g_{1c1} + g_{1c2}) * B + g_{4c1} * H_{f1} + g_{4c2} * H_{f2}}$

$$M_{cap} - V * H_g$$

b) ipoteza vânt simultan cu chiciură : $a_v = \frac{M_{cap} - V * H_g}{a_g * (g_{3c1} + g_{3c2}) * B + g_{4c1} * H_{f1} + g_{4c2} * H_{f2}}$

unde M_{cap} este momentul capabil de calcul al stâlpului (daNm)

V - încărcarea orizontală datorată vântului pe stâlp (daN)

H_g - înălțimea deasupra solului a centrului de greutate a stâlpului; (m)

H_{f1} și H_{f2} - înălțimea deasupra solului a punctului de prindere a fasciculului 1, respectiv 2, pe stâlp (m)

a_g - deschiderea maximă la sarcini vertcale (m);

g_{1c1} , g_{3c1} , g_{4c1} , g_{5c1} - încărcări unitare de calcul ale fasciculului 1 (daN/m);

g_{1c2} , g_{3c2} , g_{4c2} , g_{5c2} - încărcări unitare de calcul ale fasciculului 2 (daN/m);

B - distanța de la axul stâlpului la punctul de prindere a fasciculului pe stâlp (m);

6.1.3. Deschiderea nominală se calculează pentru ambele fascicule, reținându-se valoarea cea mai mică.

$$a_n = \sqrt{\frac{8 * P * f_{max}}{\gamma_n}} \quad (m)$$

unde P este tracțiunea aferentă săgeții maxime (daN/mm²)

γ_n - încărcarea specifică normată a fasciculului corespunzătoare ipotezei la care apare săgeata maximă

f_{max} - săgeata maximă impusă de gabaritul la sol $\Rightarrow f_{max} = H_f - H_{gab}$ (m)

H_f este înălțimea de la sol la punctul de prindere a fasciculului (m)

H_{gab} - gabaritul la sol al fascicului la săgeată maximă (m)

6.1.4. Deschiderea dintre stâlpi este valoarea minimă dintre *deschiderea la încărcări verticale* (a_g), *deschiderea la încărcări date de vânt* (a_v) și *deschiderea nominală* (a_n).

$$a = \min (a_g, a_v, a_n) \quad (m)$$

6.2. Stâlpi terminali

Stâlpul terminal se dimensionează astfel încât momentul capabil al stâlpului să nu fie depășit atât pe direcția principală cât și pe direcția secundară. Schema de încărcare a stâlpului terminal este prezentată în figura 6.1.

- a) direcția principală : $M_{cap} \geq T_1 * H_{f1} + T_2 * H_{f2} + (g_{3c1} + g_{3c2}) * B * a / 2$ (daNm)
 b) direcția secundară : $M_{cap} \geq (g_{4c1} + g_{4c2}) * (H_{f1} + H_{f2}) * a / 2 + V * H_g$ (daNm)

unde T_1 este tracțiunea maximă care apare în fascicul 1 (daN)

T_2 este tracțiunea maximă care apare în fascicul 2 (daN)

H_{f1} - înălțimea de sol la punctul de prindere a fasciculului 1 pe stâlp (m)

H_{f2} - înălțimea de sol la punctul de prindere a fasciculului 2 pe stâlp (m)

V - încărcarea orizontală datorată vântului pe stâlp (daN)

H_g - înălțimea deasupra solului a centrului de greutate a stâlpului (m)

a - deschiderea reală (m)

$g_{3c1}, g_{4c1}, g_{3c2}, g_{4c2}$ - încărcarea unitară de calcul a fasciculului 1, respectiv 2 (daN/m)

H_{f1} - înălțimea deasupra solului a punctului de prindere a fasciculului 1 (m)

H_{f2} - înălțimea deasupra solului a punctului de prindere a fasciculului 2 (m)

6.3. Stâlpi de susținere în aliniament

stâlpii de susținere în aliniament se aleg astfel încât deschiderea reală (a) să fie mai mică, cel mult egală, cu valoarea minimă dintre deschiderea la sarcini verticale (a_g), deschiderea la vânt (a_v) și deschiderea nominală (a_n)

6.4. Stâlpi de colț

Domeniul de utilizare a stâlpilor de susținere sau întindere în colț se determină prin calcularea unghiului maxim al liniei, astfel încât eforturile care apar în stâlp, să nu producă momente mai mari decât momentul capabil.

Unghiul de colț (2α) al liniei se determină din relația :

a) ipoteza vânt maxim

$$\alpha = \arccos \left[\frac{M_{cap} - V * H_g - a * (g_{1c1} + g_{1c2}) * B - a * (g_{4c1} * H_{f1} + g_{4c2} * H_{f2})}{2 * T * (H_{f1} + H_{f2})} \right]$$

b) ipoteza vânt simultan cu chiciură

$$\alpha = \arccos \left[\frac{M_{cap} - V * H_g - a * (g_{3c1} + g_{3c2}) * B - a * (g_{5c1} * H_{f1} + g_{5c2} * H_{f2})}{2 * T * (H_{f1} + H_{f2})} \right]$$

unde a este deschiderea nominală dintre stâlpi.

T - tracțiunea orizontală (daN)

α - unghiul liniei

Restul notațiilor sunt cunoscute de mai sus.

6.5. Stâlpi de întindere

Deschiderea la încărcări verticale, deschiderea la vânt și deschiderea nominală pentru stâlpii de întindere în aliniament se determină ca la stâlpii de susținere.

In plus, stâlpul de întindere se verifică și ca stâlp terminal.

6.6. Recomandări privind utilizarea stâlpilor la liniile cu două circuite

- Pentru liniile electrice cu conductoare izolate torsadate cu două circuite se utilizează de regulă, aceleași tipuri de stâlpi ca și la liniile simplu circuit.

- Constructiv, liniile cu două fascicule se realizează în două moduri : cu fasciculele montate pe aceeași parte a stâlpului (cazul prezentat mai sus), sau cu fasciculele montate de o parte și alta a stâlpului, situație în care, În acest ultim caz, eforturile în stâlp sunt mai echilibrate și relațiile de calcul se modifică, tinându-se seama de sensul momentului produs de fiecare fascicul.